

44847

T.C.
Marmara Üniversitesi
Sağlık Bilimleri Enstitüsü
Analitik Kimya Anabilim Dalı

**DEMİR(III) -ETİLENDİAMİNTETRAASETİKASİT-
SÜLFOSALİSİLİKASİT ÜÇLU KOMPLEKSİNİN
KARARLILIK SABİTLERİNİN
POTANSİYOMETRİK YÖNTEMLE TAYİNİ**

YÜKSEK LİSANS TEZİ

Serap KARADERİ
Kimyager

**Danışman
Doç. Dr. Mürşit PEKİ̄N**

44847

İSTANBUL – 1995

TEŞEKKÜR

Bilimsel düşünceleri, üstün bilgi ve deneyimleri ile bu çalışmamda büyük destek ve yardımını gördüğüm danışmanım, hocam Sayın Doç.Dr. Mürşit PEKİN'e şükran ve saygılarımı sunarım.

Çalışmalarımda bilgileriyle yol gösteren ve huzurlu bir çalışma ortamı sağlayan hocam Sayın Prof. Dr. Emre DÖLEN'e saygılarımı sunarım.

Tez çalışmamda değerli zamanlarını harcayarak bana yardımcı olan asistan arkadaşlarım Kimyager Filiz ARIÖZ ve Eczacı Saadet KABAOĞLU'na teşekkür ederim.

Bana rahat bir çalışma ortamı sağlayan ve destek veren hocam Yrd.Doç.Dr. Güler YALÇIN'a ve asistan arkadaşlarım Kimya Mühendisi Ayşen KURT ile Kimya Mühendisi Hülya DEMİRCAN'a teşekkür ederim.

İÇİNDEKİLER

	Sayfa
1. GİRİŞ	1
2. GENEL BÖLÜM	2
2.1. 2-HİDROKSO-5-SÜLFİ BENZOİK ASİT (SSA) KONUSUNDA GENEL BİLGİ	2
2.1.1. Özellikleri	2
2.1.2. Sentezi	2
2.1.3. Kullanılması	2
2.2. ETİLENDİAMİNTETRAASETİK ASİT (EDTA).....	4
2.2.1. Özellikleri	4
2.2.2. Kullanılması	9
2.3. KOORDİNASYON BİLEŞİKLERİNİN OLUŞUMU VE KARARLILIĞI.....	11
2.3.1. Koordinasyon Bileşiklerinin Kararlığı.....	11
2.3.2. Kararkılık Sabitleri.....	12
2.4. KARARLILIK SABİTLERİNİN TAYİNİNDE KULLANILAN POTANSİYOMETRİK YÖNTEMLER	14
2.4.1. Bjerrum Yöntemi.....	14
2.4.2. Calvin-Bjerrum Yöntemi.....	19
2.4.3. Irving ve Rossotti Yöntemi	21
2.5. ORTAMDAKİ TÜRLERİN KONSANTRASYONLARININ pH İLE DEĞİŞİMİ.....	28
2.6. KOŞULLU OLUŞUM SABİTLERİ	31

3. DENEL BÖLÜM	34
3.1. ÖN İNCELEMELER.....	34
3.1.1. Kullanılan Alet ve Maddeler	34
3.1.2. Metal ve Ligand Çözeltilerinin Hazırlanması	34
3.2. PROTONLANMA SABİTLERİNİN TAYİNİ.....	35
3.2.1. Potansiyometrik Titrasyonlar	35
3.3. ÜÇLU KOMPLEKSLER.....	54
3.3.1. 1:1:1. Bileşiminde Fe-EDTA-SSA Üçlü Kompleksi	55
3.3.2. 1:1:1. Üçlü Kompleksin Koşullu Oluşum Sabiti	59
3.3.3. 1:1:1. Üçlü Kompleksin Bağıl Bolluğu	59
4. SONUÇ VE TARTIŞMA	63
5. EK-1 KULLANILAN BİLGİSAYAR PROGRAMLARI	66
6. ÖZET.....	68
7. SUMMARY.....	69
8. KAYNAKLAR.....	70

1. GİRİŞ

Son yıllarda metallerin farklı ligandlarla oluşturdukları karışık kompleksler üzerine pek çok çalışmalar yapılmış, bunların yapıları, kararlılıklarını, çeşitli yöntemlerle incelenmiş ve kararlılık sabitleri bulunmuştur.

Bu çalışmada Fe(III) ün, EDTA ve 5-sülfosalisilikasitle oluşturduğu üçlü kompleksin oluşum koşulları incelenmiş ve ikili sistemler için uygulanan Irving-Rossotti (1) yöntemi üçlü sistem için düzenlenerek (2), potansiyometrik olarak kararlılık sabiti bulunmuştur. Ayrıca oluşan komplekslerin koşullu oluşum sabitleri pH'a bağlı olarak hesaplanmış, hesaplanan bu koşullu oluşum sabitlerinden yararlanarak üçlü kompleksten türeyen çeşitli türlerin bağıl bollukları incelenmiştir. Her iki ligandin asit sabitleri ve metalin her bir ligandla ayrı ayrı oluşturduğu ikili komplekslerin kararlılık sabitlerinden yararlanarak hesaplanan koşullu oluşum sabitinin, belirli bir pH aralığındaki maksimum değerinin, potansiyometrik yöntemle bulunan üçlü kompleksin kararlılık sabiti ile uyum içinde olduğu görülmüştür.

2. GENEL BÖLÜM

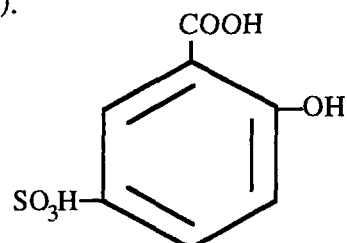
2.1. 2-HİDROKSO-5-SÜLFO BENZOİK ASİT (SSA)

2.1.2. Özellikleri :

2-hidrokso 5-sülfo benzoik asidin ($C_7H_6O_6S$; $M = 218,18$) dihidratı beyaz kristaller veya kristal toz halindedir. Demir(III) varlığında pembe renklidir. Susuz SSA'din E.N. = 120°C civarındadır (3). Sülfosalisilik asidin, asit sabitleri $pK_2 = 2,86$; $pK_3 = 11,74$ dür (4). Yüksek sıcaklıkta bozunarak fenol ve salisilikasit oluşur (3). Genellikle polar çözücülerde çözünür. Işıktan korunarak ve iyice kapatılarak saklanmalıdır. Biyoloji labratuvavarlarında idrardaki albümmini teşhis etmek için kullanılan klinik bir reaktiftir. Ayrıca Fe (III) iyonunun EDTA ile kompleksometrik titrasyonunda indikatör olarak kullanılır (3).

2.1.2. Sentezi

Salisilik asidin kloro sülfonlanmasıyla ele geçen asit klorürün hidroliziyle yüksek saflıkta 5-sülfosalisilik asit elde edilir (5).



2.1.3. Kullanılması

2-Hidrokso-5-Sülfobenzoik asit

SSA ve Fe(III) oluşturduğu ikili kompleksler pek çok yöntemle incelenmiştir. En çok kullanılanlar arasında spektrofotometrik tayinler yer alır. pH = 5'de Fe(III) sülfosalisilat kompleksinin (6) ve kayalardaki titanyum ve Fe(III)-SSA ile bir arada spektrofotometrik tayini yapılmıştır.

Fe(III) için 500 nm ve Ti(IV) için 380 nm'de duyarlı şekilde spektrofotometrik ölçüm yapıldığı gözlenmiştir (7) (8). 25°C de $I = 0,1$ (NaClO_4) iken 5-SSA-Fe(III) komplekslerinin disosiyasyon sabitleri ve kararlılık sabitleri spektrofotometrik olarak saptanmıştır (9, 26).

Fe(III)-salisilat kompleksinin disosiyasyon kinetiği spektrofotometrik olarak incelenmiştir (10).

Dengedeki kompleks çözeltilerin karakterlerinin bu yöntemle incelenmesi için BASIC bilgisayar programı hazırlanmıştır (11). Fe(III)-SSA ikili komplekslerinden başka, Fe(III)-Tron-SSA (1:1:1) üçlü kompleksi spektrofotometrik yöntemle tayin edilmiştir (12). Fe(III) iyonu ile 2,10-fenantrolin ve 5-SSA'in oluşturduğu üçlü kompleks incelenmiştir (13). Üçlü komplekslerin incelenmeye başlamasıyla, ligand örnekleri ve çözelti türleri çeşitlenmiş sulu çözeltilerde sülfosalisilat iyonu ve α aminoasitlerle Fe (III)'ün karışık ligand komplekslerinin oluşumu gözlenmiştir (14). Salisilik asit ve sülfosalisilik asit-Fe(III) kompleksinin bütanol, isobütanol, tersiyer bütanol ortamında oluşturduğu türevlerin reaksiyonları incelenmiştir (15).

Salisilat ve benzer demir komplekslerinin elektrot reaksiyonları, mekanizmaları ve kinetikleri de incelenmiştir.

5-sülfosalisik asidin Fe(III) kompleksinin oluşturduğu sistemin, denge potansiyeline bağlı elektrot reaksiyonları mekanizması ve kinetiği (16), Fe (III)-Salisilat komplekslerinin EDTA ile yer değiştirme reaksiyonunun kinetiği (17), ve Salisilat-Fe(III) kompleksinin nitriloasetikasit ile sübstitusyon kinetiği incelenmiştir (18). Fe(III) ve Fe(OH)_2 in denge kinetikleri, bunların salisilik asitlerle etkileşimleri, kompleks oluşum mekanizmaları açısından da incelenmiştir (19) (20). Fe(III) ve SSA oluşturduğu ikili veya üçlü kompleksler için ya da Fe(III) ve SSA için yapılan ayrı ayrı çalışmalarda değişik yöntemler kullanılmıştır;

Fe(III)'ün sülfosalisilat ile yaptığı kompleks hem perklorat asidinde çalışılmıştır (21). Fe(III)-dibromafenilfloran-SSA-Twin40 sisteminde, alkali ortamındaki 4-5-dibromofenil floranın renk reaksiyonları incelenmiştir (22). SSA

türevleri ve EDTA'nın oluşturduğu sistem ile terbium ve dysprosium'un fluorimetrik tayini yapılmıştır (23). Civa damla elektro kullanılarak 5-SSA, Fe(III) komplekslerinin indirgeme mekanizması bulunmuştur (24). SSA ile Fe(III)'ün kompleks oluşumunun tayininde sürekli enjeksiyonla örnek verme yöntemi ile bulunan değerler karşılaştırılmış olarak çalışılmıştır (25).

Değişik pH'larda Fe(III)-SSA yük transfer komplekslerinin kararlılık sabitleri, (27), Salisilik asit sülfo salisilik asit ve 4-amino salisilik asit Fe(III) komplekslerinin kararlılık sabitlerinin tayini yapılmış (28) ve Fe(III)-SSA ve Fe(OH)SSA (Demir hidrokso sulfosalisilik asit) komplekslerinin protonlanması potansiyometrik titrasyon yöntemiyle incelenmiştir (29).

2.2. ETİLENDİAMİNTETRAASETİK ASİD (EDTA)

2.2.1. Özellikleri

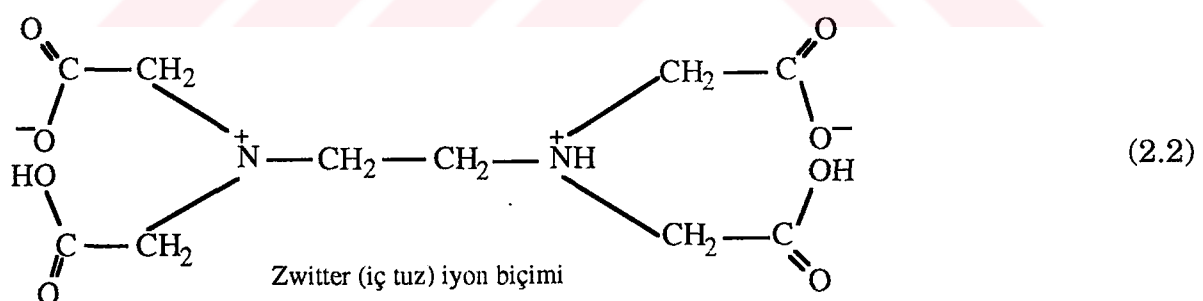
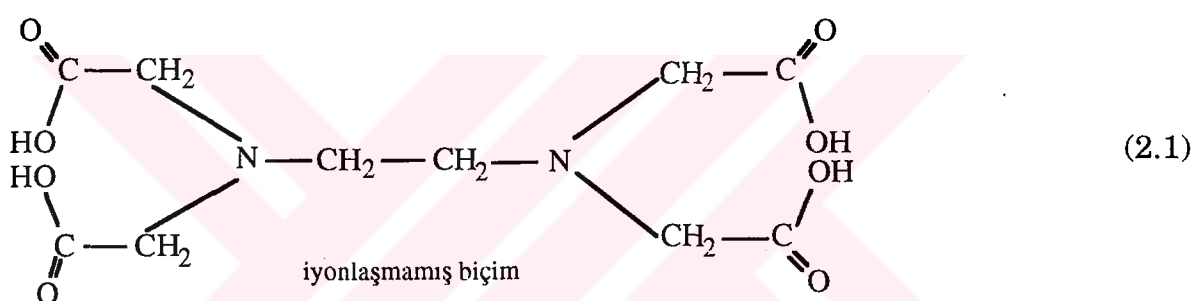
Etilendiamintetraasetikasit ($C_{10}H_{14}N_2Na_2O_8$; M = 336,21) Dihidrat kristal yapısındadır. EN = 252°C dir. pH = 5,3 civarındadır. Suda çözünür. Zayıf asid karakterdedir, karbonatlardan CO_2 ile yer değiştirir ve hidrojen ile reaksiyon verir (3). EDTA'nın asit sabitleri $pK_1 = 2,00$; $pK_2 = 2,67$; $pK_3 = 6,16$; $pK_4 = 10,26$ (4).

Kompleksleşme titrasyonlarında kullanılan maddeler arasında en yaygın ve çok yönlü olanlarından biri EDTA (H_4Y) dir. EDTA'nın öteki kompleks yapıclara göre bazı özel üstünleri vardır :

- 1) Birçok metal iyonu ile çok kararlı, suda çözünen ve EDTA/Metal = 1/1 olan stokiyometrik kompleksler oluşturur.
- 2) Çeşitli metal iyonlarının oluşturduğu koplekslerin kararlılık sabitleri birbirinden geniş ölçüde farklı olduğundan titrasyonun yapıldığı ortamın pHının denetlenmesi yoluyla çeşitli katyonlar arasındaki ayırmalar kolaylıkla yapılabilir.
- 3) EDTA'nın disodyum tuzu bir birincil standart olarak alınabilir.

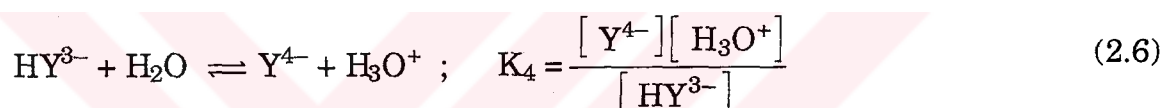
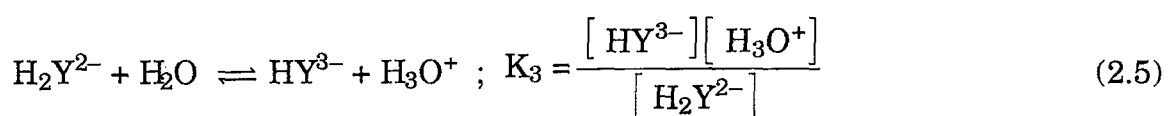
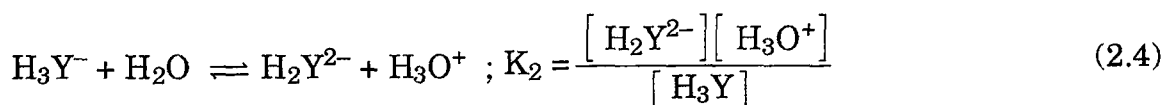
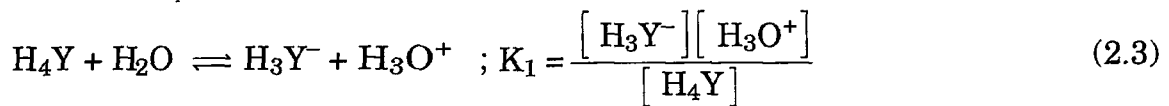
- 4) Metal komplekslerinin çözünür olması nedeniyle birlikte çökme hataları ortaya çıkmaz.
- 5) Eşdeğer nokta çeşitli yollarla saptanabilir.
- 6) EDTA öteki kompleks yapıcılarla oranla bağlı olarak daha ucuzdur.

EDTA'nın ilk iki protonu oldukça kolaylıkla ayrırlar ($pK_1 = 2,00$; $pK_2 = 2,67$) ve çözeltide bir dikarboksilli asit gibi davranışır. Üçüncü ve dördüncü protonlar zayıfça iyonlaşır ($pK_3 = 6,26$; $pK_4 = 10,26$) ve bunlar amonyum protonudur. Buna göre, EDTA sulu çözeltide bir çift zwitterion (iç tuz) biçiminde bulunur.

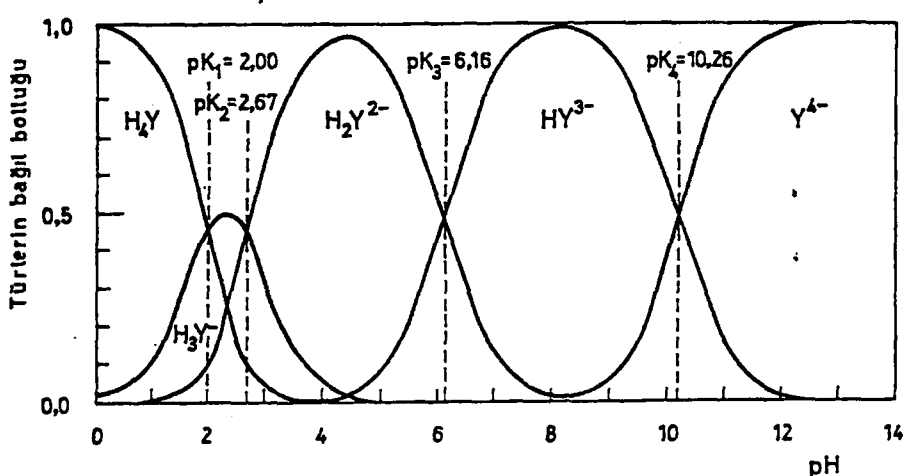


EDTA'nın asit biçiminin suda az çözünmesi nedeniyle analitik işlerde disodyumtuzu uygun olarak kullanılır. Gerek EDTA ve gerekse disodyum tuzu TrilonB Kompleksyon III, Sequestrene, Versene ve Chelaton 3 adlarıyla da anılır. Titrasyon işlemleri söz konusu olduğunda EDTA genellikle disodyum tuzu anlamında kullanılır.

EDTA sulu çözeltide dört basamak üzerinden iyonlaşır.



EDTA'nın protolizi sonucu oluşan türlerin ortamın pH'na bağlı olarak bağıl bollukları ve bu türlerin belirleyici oldukları pH aralıkları aşağıda gösterilmiştir.



EDTA'nın protolizi sonucu oluşan türlerin bağıl bolluklarının ortamın pH'na bağlı olarak değişimi.

Etilendiamintetraasetik asit (H_4Y) çözeltisinde değişik pH aralıklarında ortamda bulunan başlıca iyon türleri.

pH aralığı	Başlıca iyon türü
$pH < 2,0$	H_4Y
$2,0 < pH < 2,7$	H_3Y^-
$2,7 < pH < 6,2$	H_2Y^{2-}
$6,2 < pH < 10,2$	HY^{3-}
$10,2 < pH$	Y^{4-}

Bir EDTA çözeltisinde iyonlaşma sonucu oluşan H_4Y , H_3Y^- , H_2Y^{2-} , HY^{3-} ve Y^{4-} türleri yanyana bulunur. Bu türlerin bulunuş oranları ortamın asitliğine bağlı olarak değişir. Kompleks oluşumu açısından Y^{4-} iyonunun konsantrasyonu büyük önem taşır. Çözeltide bulunan kompleksleşmemiş EDTA türlerinin toplam konsantrasyonu,

$$C_T = [H_4Y] + [H_3Y^-] + [H_2Y^{2-}] + [HY^{3-}] + [Y^{4-}]$$

dir. Bu bağıntıdaki ilk dört terimin yerine EDTA'nın iyonlaşma dengelerine ilişkin (2.3), (2.4), (2.5) ve (2.6) bağıntılarından bulunan değerler konularak,

$$C_T = [Y^{4-}] \left[1 + \frac{[H_3O^+]}{K_4} + \frac{[H_3O^+]^2}{K_4 K_3} + \frac{[H_3O^+]^3}{K_4 K_3 K_2} + \frac{[H_3O^+]^4}{[K_4 K_3 K_2 K_1]} \right] \quad (2.7)$$

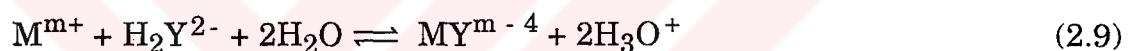
bağıntısı elde edilir. Buradan paydalar eşitlenerek ve kesir ters çevrilerek,

$$\alpha_{Y^{4-}} = \frac{[Y^{4-}]}{C_T} = \frac{K_1 K_2 K_3 K_4}{[H_3O^+]^4 + K_1 [H_3O^+]^3 + K_1 K_2 [H_3O^+]^2 + K_1 K_2 K_3 [H_3O^+] + K_1 K_2 K_3 K_4} \quad (2.8)$$

bulunur. Bu bağıntı, herhangi bir pH değeri için ortamda kompleksleşmemiş olarak bulunan Y^{4-} iyonunun kesrini toplam konstrasyondan bağımsız olarak verir.

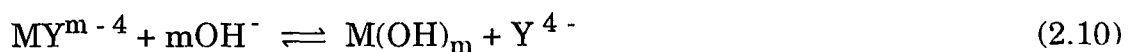
EDTA molekülü altı tane donör atom içeren altı dişli (heksadentat) bir liganddır. Metal iyonları ile metalin koordinasyon sayısının 4 veya 6 olmasına göre bu donör atomların dördünü veya tümünü kullanarak geniş bir koşul aralığında genellikle 1:1 oranında kompleksler oluşturur. Bu kompleksler çok kararlı olan beş üyeli kelat halkaları içerirler. Oluşan metal komplekslerinin uzaysal yapısı aşağıda gösterilmiştir. Bu komplekslerin yapıları benzer olmakla birlikte, yükleri merkezi metal iyonunun altıya kadar olan koordinasyon sayıları tek bir ligand molekülü tarafından doyurulduğundan bunlar çok kararlıdır.

Metal katyonları ile H_2Y^{2-} arasında ortaya çıkan kompleksleşme reaksiyonu genel olarak,



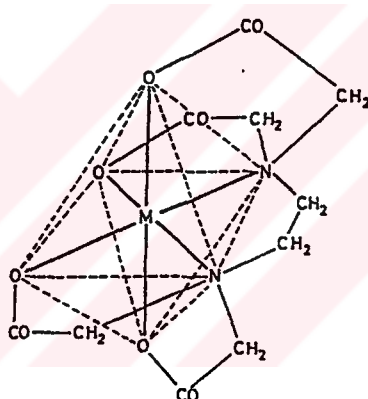
biçiminde gösterilebilir. Görüldüğü gibi bütün durumlarda metalin değerliğine bağlı olmaksızın bir metal iyonu ile bir H_2Y^{2-} kompleksleşmekte ve bunun sonucunda iki tane proton açığa çıkmaktadır.

EDTA komplekslerinin oluşum etkinliği çözeltideki Y^{4-} iyonunun konsantrasyonuna bağımlıdır ve bu da ortamın pH değişiminden doğrudan etkilenir. Çözeltinin pHının azalması sonucunda kompleks yapıcı türlerin konsantrasyonu da azalır. Bunun sonucu olarak, metal kompleksleri en iyi bazik ortamda oluşur. Kalsiyum ve öteki toprak alkali metallerinin iyonları dışındaki metal iyonları için kompleks oluşum etkinliği oldukça düşük pH değerlerine kadar önemli oranda azalmaz. Örneğin, bakır pH = 3,5 da bütünüyle kompleksleşir. Magnezyum ve kalsiyum için pH = 7,5 değerinin altında kompleksleşme etkinliğinde hafif bir azalma ortaya çıkar. Çözeltinin pH değerinin artmasıyla birlikte az çözünen metal hidroksitlerinin oluşma eğilimide artar. Bu durum,



denklemi ile gösterilebilir. MY^{m-4} kompleksinin hidrolizi metal iyonunun özelliğine, metal hidroksidin çözünürlük çarpımına ve kompleksin kararlılık sabitine bağlıdır. Böylece, Fe(III) bazik çözeltide hidroksit biçiminde çöker ($K_s = 3,2 \cdot 10^{-36}$) fakat nikel ($K_s = 6,3 \cdot 10^{-18}$) kompleksleşmiş olarak çözeltide kalır. EDTA çözeltisinin aşırısının kullanılması bazik çözeltideki hidrolizin etkisini azaltır.

Genel olarak, bazı istisnaların dışında iki değerlikli metal iyonlarının EDTA kompleksleri bazik veya hafif asitli çözeltide kararlıdırlar. Buna karşılık, üç ve dört değerlikli metal iyonlarının EDTA kompleksleri pH = 1 – 3 arasındaki çözeltilerde bulunabilirler (30).



EDTA'nın koordinasyon sayısı altı olan metaller ile oluşturduğu 1:1 komplekslerin uzaysal yapısı.

2.2.2. Kullanılması

Fe(III)-EDTA-tiyosyanat kompleksinin oluşumu spektrofotometrik yöntemle tayin edilmiştir (31). Atomik absorbsiyon spektrofotometresi ile 248,3 nm'de kompleks oluşturabilen ajanların varlığında demir tayin edilmiştir. Bu çalışmanın sonucunda kalorimetrik metodla karşılaştırma yapılmış ve atomik absorbsiyon metodunun EDTA (1g/L) çözeltilerinde Fe(III) iyonunun tayininde kolorimetrik metoda göre kullanılabilirliği ve hızının daha yüksek olduğu anlaşılmıştır (32).

Yardımcı kompleks ajanı, 2-hidroksiasetofenon ve bunların oksimleri kullanılarak, Fe(III)–Karboksilik asit rensiz komplekslerinin spektrofotometrik tayini yapılmıştır (33). Fe(OH)_3 'in çözünürlük çarpımı zayıf alkali çözeltilerde Fe(III)–EDTA kompleksinin protolitik özellikleri incelenmiş protolitik ve Fe(OH)_3 'in çözünürlük çarpımı bu yöntemle saptanmıştır (34).

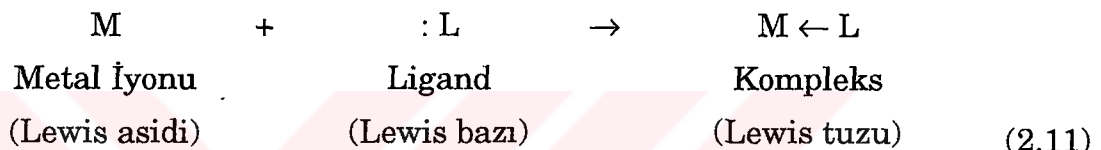
Geçiş metallerinin karışık komplekslerinin kararlılık sabitleri spin echo metodu ile bulunmuştur (35). Ayrıca sulu çözeltilerdeki Fe(III) iyonunun oluşturduğu kompleksin kararlılığının, termodinamik analizi yapılmıştır (36). Çeşitli adsorbanlarda Fe(III)–EDTA kompleksinin adsorbsiyonuna bakılmıştır (37). Fe(III) iyonu ve EDTA'nın oluşturduğu ikili komplekslerden başka; Fe(III)–Fenol–EDTA üçlü kompleksi ve Fe(III)–EDTA–Pirokateşol veya gallik asit ile oluşturduğu üçlü kompleksler de incelenmiştir (38) (39). Fe(III)–EDTA ve bazı anyonların (Cl^- , F^- , OAc^- , BzO^- , $\text{C}_2\text{O}_4^{2-}$, HPO_4^{2-} , CN^-) oluşturduğu üçlü komplekslerin pH = 6 ve pH = 8,5'ta elektroforetik ölçümleri yapılmıştır (40). Floroglusin ve EDTA ile Fe(III) iyonunun oluşturduğu üçlü komplekse fotometrik yöntem ve elektroforez yöntemi ile bakılmış, 505 nm'de oluşan kırmızı kompleks incelenmiş ve maximum kararlılığa pH = 8,1'de ulaşıldığı saptanmıştır (41).

Bitkilerde Fe(III) iyonunu tayin edebilmek için EDTA kullanılarak potansiyometrik tayin yapılmıştır (42). Gıda maddelerinde Fe(III) ve bunun bileşiklerinin kararlılığı incelenmiştir (43).

2.3. KOORDİNASYON BİLEŞİKLERİNİN OLUŞUMU VE KARARLILIĞI

2.3.1. Koordinasyon Bileşiklerinin Kararlılığı

Koordinasyon bileşikleri Lewis asit-baz reaksiyonları sonucunda oluştugundan birer Lewis asidi olan bütün metal iyonlarının koordinasyon bileşiği verme eğilimi vardır :



Genellikle bütün molekül ve iyonlar en az bir serbest elektron çifti içerdiklerinden metal iyonları ile kompleks oluşturma eğilimindedirler. Genellikle metal komplekslerinin kararlılığı metal ve ligandın doğasına bağlıdır. Kararlılığı metal iyonu açısından etkileyen etkenler, metal iyonunun çapı, yükü, iyonlaşma gerilimi, kristal alan stabilizasyon enerjisi ve datif π bağlarının oluşumudur. Bu nedenle alkali metal iyonları kompleksleşme eğilimi en az, geçiş elementleri ise en fazla olan iyonlardır.

Çeşitli ligandlarla yapılan çalışmalar sonucu iki değerlikli geçiş metal iyonlarının komplekslerinin kararlılığının ligandın türüne bağlı olmaksızın $Pd > Cu > Ni > Pb > Co > Zn > Cd > Fe > Mn$ sırasını izlediği saptanmıştır(44, 45). Çok sayıda araştırma bu sırayı destekleyen sonuçlar vermiştir. Ayrıca geçiş elementi dizilerinde birinciden ikinciye, ikinciden üçüncüye geçişte kararlılıklar artar. Kararlılığı ligand açısından etkileyen etkenler ise ligandın bazikliği, ligand başına düşen metal kelat halkasının sayısı, kelat halkalarının büyülüğu, donör atomun cinsi, sterik etkiler ve rezonanstır. Bunların arasında kararlılık üzerine en etkili olan ligandın bazikliğidir. Bir protona karşı büyük ilgisi olan bir ligand metal iyonlarına karşı da aynı davranış gösterir. Genellikle oluşum sabitleri ile ligandın bazlığı doğrusal bir uygunluk içindedir. Ligandların baziklik kuvveti ile metal komplekslerinin kararlılıklarını

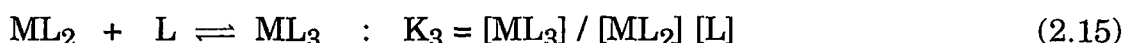
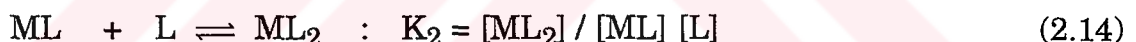
arasındaki ilişki benzer bir seri ligand için,

$$\log K = ApK_a + B \quad (2.12)$$

birimindedir(46). Buradaki A ve B sabitleri ligand ve metale bağlı olmayıp, kompleks bağlarının özelliklerine bağlıdır ve bunun bir ölçüsüdür. K_a toplam asit sabiti K toplam oluşum sabiti olmak üzere pK_a nin $\log K$ ya karşı veya K_n son dissosiyasyon sabiti olmak üzere pK_n in $\log K$ ya karşı grafiği çizildiğinde genellikle bir doğru elde edilir.

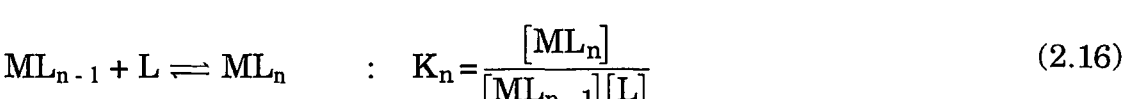
2.3.2. Kararlılık Sabitleri

Koordinasyon bileşiklerinin oluşumu ve dissosiyasyonu sırasında poliprotik asitlerde olduğu gibi birbirini izleyen dengeler vardır. M, koordinasyon sayısı n olan merkez metal iyonu, L de monodentat bir ligand olmak üzere, kompleks oluşumu ile ilgili basamakları ve her bir basamağın denge sabitini aşağıdaki biçimde gösterebiliriz :



.

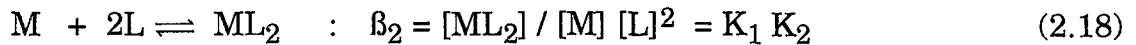
.



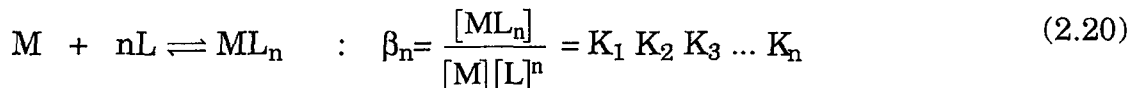
Burada her bir basamağı belirleyen $K_1, K_2, K_3, \dots K_n$ denge sabitlerine **ara basamak oluşum veya kararlılık sabitleri** adı verilir. Buna göre ML_n kompleksi için stokiyometrik kararlılık sabiti,

$$C_{K_n} = \frac{[ML]_n}{[ML_{n-1}] [L]} \quad (2.17)$$

olur. Kompleks oluşumundaki denge ilişkileri başka bir biçimde de gösterilebilir :



⋮
⋮



Burada kompleks oluşumunun basamaklarını belirleyen $\beta_1, \beta_2, \beta_3 \dots \beta_n$ denge sabitlerine **toplum oluşum sabitleri** veya **kararlılık sabitleri** adı verilir. Bazı durumlarda dengenin konumunun bir biçimde belirtilmesi daha kullanışlıdır. Toplam oluşum sabiti β_i ile ara basamak oluşum sabiti K_i arasındaki ilişki aşağıdaki genel bağıntı ile verilir :

$$\beta_k = K_1 K_2 K_3 \dots K_k \prod_{i=1}^{i=k} K_i \quad (2.21)$$

Buna göre metal kompleksi için toplam kararlılık sabiti,

$$c_{\beta_n} = c_{K_1} c_{K_2} c_{K_3} \dots c_{K_n} \quad (2.22)$$

olur. Buradaki adı geçen sabitler aktivitelere göre belirtilmiş olduklarından gerçek veya termodinamik sabitlerdir. Konsantrasyonlara göre belirtilen görünür sabitlerden bunlara geçebilmek için aktivite katsayılarını gözönüne almak gereklidir. Kararlılık sabitlerinin belirlenmesi ile ilgili ölçümler ancak sulu çözeltilerde veya su içeren karışık çözeltilerde yapılabilir. Seyreltik çözeltilerde aktiviteler yerine konsantrasyonlar alınabilirse de ideal durumda sapma 0,001 M çözeltilerde bile oldukça büyüktür. Bu hataları önlemek için, $KNO_3, KClO_4$ gibi kompleks oluşturmayan tuzlar yardımı ile iyonik kuvvet sabit tutulur. Böylece aktivite katsayılarının gerçek değeri bilinmemekle birlikte sabit kabul edilebilir. Bu yolla iyonik kuvveti sabit tutulan çözeltilerden görünür kararlılık sabitleri tayin edilebilir. Buradan, aktivite katsayılarının bire eşit olduğu sonsuz seyreltiklikteki kararlılık sabitleri ekstrapolasyonla bulunabilir. Genellikle aynı deneme koşullarında elde edilen

görünür kararlılık sabitlerinin karşılaştırılması benzer sistemlerin bağlı kararlılıklarını hakkında yeterli bilgi verdiginden görünür kararlılık sabitlerinin hesaplanması ile yetinilir.

2.4. KARARLILIK SABİTLERİNİN TAYİNİNDE KULLANILAN POTANSİYOMETRİK YÖNTEMLER

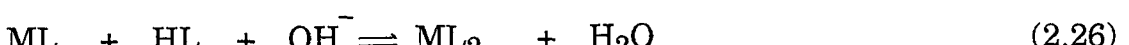
2.4.1. Bjerrum Yöntemi

Kelat oluşumu, bir veya daha fazla sayıdaki zayıf asit protonunun ayrılması veya baz konsantrasyonundaki bir azalma ile birlikte yürürl. Kelat yapıcı maddelerin asit biçimleri ile metal iyonlarının kelat oluşturması sonucunda ortamda hidrojen iyonu konsantrasyonu artar, yani pH azalır. Metallerin belirli bir kelat yapıcı ile birleşme eğiliminin fazlalığı pH daki düşmenin büyüklüğüyle elele gider.



Ortamın pH değişimi gözlenerek kelatlaşma veya kompleksleşme çabuk ve basit bir yöntemle belirlenebilir. Aynı zamanda bu yöntemle bir kelat yapıcı ile birleşen çok sayıda metalin bağlı kompleksleşme eğilimleri saptanıldığı gibi sulu çözeltilerde nicel ölçümler yapılabilir ve kararlılık sabitleri de tayin edilebilir.

Uygulamada metal iyonu ve ligand karışımıları bir bazla potansiyometrik olarak titre edilerek reaksiyonun gidişi izlenir :



Harcanan baz miktarı oluşan kelat miktarıyla eşdeğerdedir. Titrasyon çoğu kez bir çökelti oluşmasıyla sona erer. Buna karşılık hidrofil grup içeren kelatların oluşumunda çökelti ortaya çıkmaz ve böyle durumlarda karışımın

titrasyon eğrisinin ligandın titrasyon eğrisine göre alçalması kelatlaşma için en doyurucu nitel ve nicel sonuçları verir.

Kararlılık sabitlerinin potansiyometrik yöntemle tayini ilk kez BJERRUM tarafından ortaya atılmıştır (47). BJERRUM herhangi bir durumda çözeltide bulunan her bir metal iyonu başına bağlı donör grupların (ligandların) ortalama sayısını (\bar{n}) ile göstermiştir. Buna göre (\bar{n}) oluşum derecesi

$$\bar{n} = \frac{\text{Kompleksleşen ligandın toplam konsantrasyonu}}{\text{Toplam metal konsantrasyonu}} \quad (2.27)$$

$$\bar{n} = \frac{\text{Kompleksleşen ligand}}{T_M} \quad (2.28)$$

$$\bar{n} = \frac{T_L - [\text{serbest ligand}]}{T_M} = \frac{T_L - [L]}{T_M} \quad (2.29)$$

olarak yazılabilir. Burada :

T_L = Ortamda bulunan ligand türlerinin toplam konsantrasyonu

T_M = Ortamda bulunan bütün metal türlerinin toplam konsantrasyonu

L = Serbest ligand konsantrasyonu

Serbest ligand konsantrasyonu başlangıçtaki toplam ligand konsantrasyonundan kompleksleşen ligand konsantrasyonu çıkartılarak doğrudan bulunabilir. Çözeltide bulunan iyon türlerinin tümünü göz önüne alarak,

$$\bar{n} = \frac{[ML] + 2[ML_2] + \dots + N[ML_n]}{[M] + [ML] + [ML_2] + \dots + [ML_n]} = \frac{\sum_{n=1}^N n[ML_n]}{M + \sum_{n=1}^N [ML_n]} \quad (2.30)$$

yazılabilir. Burada N metalin koordinasyon sayısı ve n arabasamak sayısıdır. Bu formüldeki ML , ML_2 ... değerleri yerine arabasamak kararlılık sabiti ifadelerinden bulunan değerler konulursa,

$$\bar{n} = \frac{K_1[L] + 2K_1 K_2 [L]^2 + \dots + NK_1 K_2 \dots K_n [L]^N}{1 + K_1[L] + K_1 K_2 [L]^2 + \dots + K_1 K_2 \dots K_n [L]^n} \quad (2.31)$$

$$\begin{aligned} n &= N \\ \sum_{n=1}^{n=N} n K_n [L]^n \\ \bar{n} &= \frac{\sum_{n=1}^{n=N} n K_n [L]^n}{1 + \sum_{n=1}^{n=N} K_n [L]^n} \end{aligned} \quad (2.32)$$

denklemi ele geçer. Bu denklem BJERRUM tarafından **oluşum fonksiyonu** olarak adlandırılmıştır. Böylece oluşum sabitlerinin tayini, N tane denklemin çözümüne indirgenir. Uygulamada bu çözüm grafik yoldan yapılır. Oluşum fonksiyonu, toplam kararlılık sabitleri kullanılarak,

$$\begin{aligned} \bar{n} &= \frac{\beta_1[L] + 2\beta_2[L]^2 + \dots + N\beta_n[L]^n}{1 + \beta_1[L] + \beta_2[L]^2 + \dots + \beta_n[L]^n} \\ n &= N \\ \sum_{n=1}^{n=N} n \beta_n [L]^n \\ \bar{n} &= \frac{\sum_{n=1}^{n=N} n \beta_n [L]^n}{[M] + \sum_{n=1}^{n=N} \beta_n [L]^n} \end{aligned} \quad (2.33)$$

biçiminde de yazılabilir.

Bir sistemin kararlılık sabitlerinin grafiksel yoldan bulunması için uygulamada $pL = \log(1/L) = -\log[L]$ alınarak $\bar{n} = f(pL)$ grafiği çizilir. Bu grafiğe **oluşum eğrisi** adı verilir. Oluşum eğrisinin çiziminden sonra sabitlerin bulunması için iki yol izlenebilir:

1) $\bar{n} = n - 1/2$ olduğu noktada ortamdaki ML_{n-1} ve ML_n türlerinin miktarlarının eşit olduğu olgusuna dayanılarak bütün yarımların \bar{n} değerleri için ligand konsantrasyonunun tersi alınır :

$$k_n = \left(\frac{1}{L} \right)_{\bar{n}=n-\frac{1}{2}} \text{ veya } \log k_n = (pL)_{\bar{n}=n-\frac{1}{2}} \quad (2.34)$$

Bu durum aşağıdaki gibi açıklanabilir.

Bağlı olan bir grubun ayrılma eğilimi, halen bağlı bulunan grupların sayısı olan n ile doğru orantılı, yeni bir grubun bağlanma eğilimi ise doldurulmamış yerlerin $(N - n)$ sayısı ile orantılıdır. Böylece, birbirini izleyen iki sabit arasındaki oran,

$$\frac{k_n}{k_{n+1}} = \left(\frac{n+1}{n} \right) \left(\frac{N-n+1}{N-n} \right) \quad (2.35)$$

şeklinde gösterilebilir. Başka bir deyimle, birbirini izleyen iki oluşum sabiti arasında oran halen bağlı bulunan grupların bağıl sayısı $n/(n + 1)$ ile ters ve doldurulmamış yerlerin bağıl sayısı olan $(N - n + 1) / (N - n)$ ile doğru orantılıdır.

BJERRUM ardışık iki oluşum sabiti arasındaki oranın ifadesine x yayılma faktörünü (spreading factor) sokmuştur :

$$\frac{k_n}{k_{n+1}} = \frac{(n+1)(N-n+1)}{n(N-n)} x^2 \quad (2.36)$$

Yayılma faktörünün bire eşit olduğu durumda ardışık oluşum sabitleri arasındaki oran istatistik koşullarca önceden belirlenene tam olarak uyar. Yayılma faktörü birden büyük olduğu zaman oluşum sabitleri arasında daha büyük bir fark vardır. $N = 2$ olduğu basit durumda,

$$k_1 / k_2 = 4 x^2 \quad (2.37)$$

olur. $K = \text{toplam fonksiyonun denge sabiti olmak üzere ortalama sabit.}$

$$k = (k_1 \cdot k_2)^{1/2} = K^{1/2} \quad (2.38)$$

$$k_1 = 2xk \quad (2.39)$$

$$k_2 = k / 2x \quad (2.40)$$

olur. k_1 ve k_2 nin bu değerleri $N = 2$ alınarak genel oluşum fonksiyonundan (Formül – 2.31) de yerine konulursa,

$$\bar{n} = \frac{2xk(L) + 2k^2(L)^2}{1 + 2xk(L) + k^2(L)^2} \quad (2.41)$$

elde edilir. $\bar{n} = 1$ için

$$k = 1 / (L) \quad (2.42)$$

olur. BJERRUM bunun genel durumda N in herhangi bir değeri için geçerli olduğunu göstermiştir. Böylece "ortalama sabit" veya toplam sabit K nin N inci dereceden kökü, oluşma derecesi $n / N = 0,5$ olduğunda serbest ligand konsantrasyonunun tersine eşittir. Uygulamada yayılma faktörü x 'e önem vermeden n 'in $\log 1/L$ veya pL ye karşı grafiği çizilir ve $\log k$ değerleri grafikten doğrudan okunur.

$\bar{n} = 1/2$ için (Formül – 2.31) ile (Formül – 2.35) den

$$k_1(L) + \frac{3 [k_1(L)]^2}{4x^2} = 1 \quad (2.43)$$

bulunur ve x , $k_1(L)$ ye oranla çok büyük olduğundan ikinci terim ihmal edilerek,

$$k_1 = 1 / (L) \quad (2.44)$$

elde edilir. $\bar{n} = 3/2$ durumunda ise (Formül - 2.40) ve (Formül – 2.41) den,

$$k_2(L) - \frac{3}{4x^2[k_2(L)]} = 1 \quad (2.45)$$

ve yine x'in büyük değerleri için,

$$k_2 = 1/(L) \quad (2.46)$$

bulunur. Böylece, k_1 ve k_2 ile (L) arasındaki ilişki x'in değerlerine bağlıdır ve yalnız x'in çok büyük olduğu durumlarda çözüm basittir. (Formül - 2.44 ve 2.46). Bu koşullar altında k_1 ve k_2 , k durumunda olduğu gibi n nin $1/(L)$ veya pL ye karşı çizilen eğrisinden grafik yolla tayin edilebilir.

Genel olarak

$$k_n = \left(\frac{1}{(L)} \right)_{\bar{n}} = n - \frac{1}{2} \quad (2.47)$$

yazılabilir.

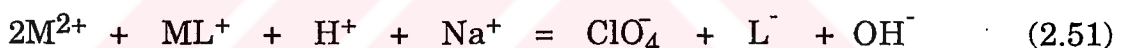
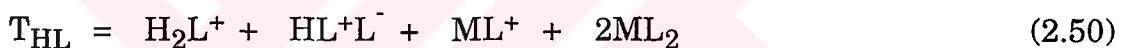
Ceşitli araştırmacılar tarafından bu yöntem geliştirilerek ve değiştirilerek uygulanmıştır. CALVIN ve WILSON suda çözünmeyen veya az çözünen kelat yapıcılar durumunda % 50 dioksan içeren sulu çözeltilerde cam elektroda ölçüm yapmışlardır. Daha sonra böyle ortamlardaki ölçümlerin en fazla 0,3 pH birimi hata ile olabileceği gösterilmiştir (48).

2.4.2. Calvin-Bjerrum Yöntemi

Komplekslerin kararlılık sabitlerinin potansiyometrik yoldan tayinine ilişkin BJERRUM yöntemi CALVIN ve WILSON tarafından değişik bir biçimde uygulanmıştır. BJERRUM yöntemi ligandın asit biçiminin veya tuzunun bir kez tek başına bir kez de metal iyonu varlığında standart baz çözeltisi ile titrasyonu üzerine temellenir. Elde edilen titrasyon eğrileri yardımıyla n ve pL değerleri hesaplanır. Ligandın veya tuzunun yeterli kuvvette asit olmaması veya tuzunun elde edilememesi gibi durumlarda yöntem başarısızlığa uğrar. Buna karşılık CALVIN ve WILSON titrasyonlardan önce ortama belirli ve bili-

nen miktarda standart asit çözeltisi katılması yöntemini getirmiştir (48). Bu yöntemi % 50 dioksan içeren ortamlarda 3-n-propilsalisilaldehid, trifluoroasetilaseton ve 2-hidroksi-1-naftaldehydin bakır(II) komplekslerinin kararlılık sabitlerinin tayinine uygulamışlardır.

CALVIN-BJERRUM yöntemi olarak adlandırılan bu yöntem FREISER ve çalışma arkadaşları tarafından birden fazla asidik veya bazik grup içeren kelat yapıclara uygulanabilecek biçimde geliştirilerek genelleştirilmiştir(49). Örneğin 8-hidroksikinolin gibi zayıf bir asit grubuna ek olarak bir bazik grup içeren maddeler durumunda protonlanmış azotun asit sabiti K_{NH} ve fenol grubunun asit sabiti de K_{OH} alınarak aşağıdaki bağıntılar yazılabılır.



Burada T_M = toplam metal konsantrasyonu T_{HL} = toplam ligand konsantrasyonu, A = katılan asit aşırısıdır. Denklemdeki ClO_4^- iyonu asidin perklorat asidi olarak katılmasından ve metallerin perklorat tuzlarının kullanılmasından kaynaklanmaktadır. Bu bağıntılardan metal iyonuna bağlı ortalama ligand sayısını veren \bar{n} ve serbest ligand konsantrasyonu,

$$\bar{n} = \frac{1}{T_M} \left[T_{HL} - S \left(\frac{K_{NH} + H^+}{K_{NH} + 2H^+} \right) \right] \quad (2.53)$$

$$L^- = \frac{S \cdot K_{NH} \cdot K_{OH}}{H^+ (K_{NH} + 2H^+)} \quad (2.54)$$

olarak elde edilir. Burada,

$$S = T_{HL} + A - Na^+ + OH^- - H^+ \quad (2.55)$$

dır. Bu hesaplamalar herhangi bir değişiklikle gerek olmaksızın üç değerlikli metal iyonları için de uygulanabilir. 8-hidroksikinolinsülfonik asit gibi bir zayıf ve bir kuvvetli asit grubu yanında bir bazik grup içeren maddeler için aynı denklemler,

$$S = 2T_{HL} + A - Na^+ + OH^- - H^+ \quad (2.56)$$

alınarak uygulanabilir. Arabasamak kararlılık sabitleri olan K_1 ve K_2 , $\bar{n} = f(pL)$ grafiğinden $\bar{n} = 1/2$ ve $\bar{n} = 3/2$ değerleri için elde edilir. FREISER ve çalışma arkadaşları bu yöntemi kullanarak % 50 dioksan içeren ortamlarda 8-hidroksikinolinin çeşitli metallerle oluşturduğu komplekslerin kararlılık sabitlerini tayin etmişlerdir. Tayinlerdeki olası hata kaynağının bazı metal iyonlarının hidrolizlenmesi olduğu belirtilmektedir.

2.4.3. Irwing ve Rossotti Yöntemi

IRWING ve ROSSOTTI metal komplekslerinin stabilité tayini yöntemini daha da geliştirmiştir (1). Proton ligand kompleksi için oluşum derecesi,

$$\bar{n}_A = \frac{\text{Liganda bağlı toplam proton konsantrasyonu}}{\text{Serbest ligand konsantrasyonu}} \quad (2.57)$$

$$\bar{n}_A = \frac{T_H - [H]}{T_L - \bar{n} \cdot T_M} \quad (2.58)$$

yazılabilir. Burada T_H = disosye olabilen toplam hidrojen (proton) konsantrasyonu ve $[H]$ = serbest proton konsantrasyonudur.

Bu bağıntıdan,

$$\text{Serbest ligand konsantrasyonu} = T_L - \bar{n} T_M = \frac{T_H - [H]}{\bar{n}_A} \quad (2.59)$$

olarak bulunur. Bu değer (2.29) da yerine konularak metal-ligand kompleksinin oluşum derecesi için,

$$\bar{n} = \frac{T_L - \frac{T_H \cdot [H]}{n_A}}{T_M} \quad (2.60)$$

bağıntısı elde edilir. Proton-ligand kompleksinin oluşum derecesi için metal-ligand kompleksininkine benzer biçimde,

$$\bar{n}_A = \frac{\sum_{j=1}^{j=J} j[LH_j]}{\sum_{j=0}^{j=J} [LH_j]} = \frac{\sum_{j=0}^{j=J} jC_\beta H_j[H]^j}{\sum_{j=0}^{j=J} C_\beta H_j[H]^j} \quad (2.61)$$

yazılabilir. Bunların sonucu olarak metale bağlı olmayan ligand konsantrasyonu,

$$\text{Serbest ligand konsantrasyonu} = T_L - \bar{n} T_M =$$

$$= [L] \sum_{j=0}^{j=J} C_\beta H_j[H]^j \quad (\beta_0 = 1) \quad (2.62)$$

olur ve buradan

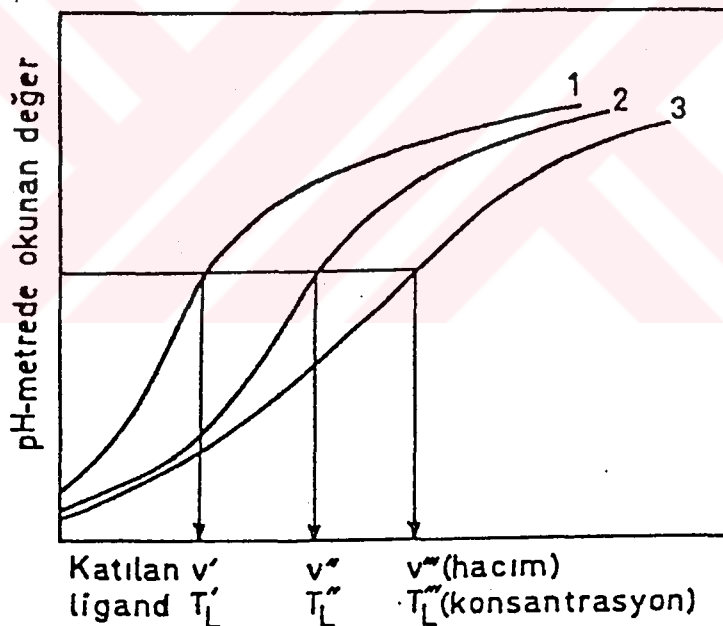
$$pL = \log \frac{\sum_{j=0}^{j=J} C_\beta H_j[H]^j}{T_L - \bar{n} T_M} \quad (2.63)$$

bulunur.

T_H değerini genel olarak ele alalım. Toplam konsantrasyonu T_L olan ve HyL biçiminde disosiyeye olabilir hidrojen taşıyan yeterli miktarda liganda E konsantrasyonunda mineral asit katılırsa disosiyeye olabilen proton konsantrasyonu $E + yT_L$ olur.* Ortama Na^+ sodyum iyonu konsantrasyonu verecek kadar alkali olarak NaOH katıldığında toplam asitlik,

$$T_H = E + yT_L - \text{Na} + [\text{OH}] \quad (2.64)$$

olur. Hidrolizden kaynaklanan son terim genellikle ötekilerin yanında ihmal edilebilir. n_A , n ve pL değerlerinin (2.58), (2.60) ve (2.63) denklemlerinden hesaplanması için $[H]$ değerinin duyarlı olarak bilinmesi gereklidir. Burada iki güçlük ortaya çıkar.



Şekil.-2.1: Eğri - 1: Tek başına mineral asit; Eğri - 2: Mineral asit ve ligand; Eğri - 3: Mineral asit, ligand ve metal. Eğri -2 ve 3 oksin gibi ligandlar için tipiktir. Üç eğrinin birbirine göre bağlı konumları ligandin doğasına bağlıdır.

(*) Amonyak veya etilendiamin gibi ligandlar için $y = 0$; glisin, oksin, asetilaseton veya salisilikaldehid gibi ligandlar için $y = 1$; oksalik asit veya EDTA disodyum tuzu gibi ligandlar için de $y = 2$ dir.

1) Değerler, metal varken veya yokken mineral asit ve ligand için tek bir pH titrasyon eğrisinden alındığında, asidin çok olması durumunda Na ve [OH] ihmali edilebilir ve burada $E \gg T_L$ olduğundan $[H] \approx E$ elde edilir. Hesaplanan $T_H - [H]$ değeri $[H]$ daki küçük hatalara büyük oranda bağımlıdır. Aşağıdaki yöntem bu güçluğun büyük oranda üstesinden gelir. Mineral asidin tek başına titrasyonuna ilişkin

Eğri -1 üzerindeki noktalar

$$[H]' = E' + [OH]' + Na' \quad (2.65)$$

bağıntısıyla verilir. Mineral asit ve ligand karışımının titrasyonuna ilişkin Eğri 2- üzerindeki noktalar (2.58) denkleminden bulunan,

$$[H]'' = E'' + [OH]'' - Na'' + yT_L'' - \bar{n}_A T_L'' \quad (2.66)$$

bağıntısı ile belirlidir. Her iki çözelti için pH-metrede okunan değer (B ordinatı) aynı olduğundan $[H]' = [H]''$ ve $[OH]' = [OH]''$ dir ve aynı iyonik kuvvetteki çözeltileri için $[H]' = [H]''$ ve $[OH]' = [OH]''$ alınabilir. Bu durumda,

$$\bar{n}_A'' = \frac{(E'' - E') - (Na'' - Na') + yT_L''}{T_L''} \quad (2.67)$$

olur. Her iki titrasyon için başlangıç hacmi V^0 , mineral asit konsantrasyonu E^0 ve toplam ligand konsantrasyonu T_L^0 aynısına ve Na' ile Na'' noktalarına ulaşmak için N konsantrasyonunda v' ve v'' hacimlerinde alkali katılmışsa, $E' = V^0 E^0 / (V^0 + v')$; $E'' = V^0 E^0 / (V^0 + v'')$; $Na' = v' N / (V^0 + v')$; $Na'' = v'' N / (V^0 + v'')$; $T_L' = V^0 T_L^0 / (V^0 + v')$ ve $T_L'' = V^0 T_L^0 / (V^0 + v'')$ olacağından (2.67) bağıntısından,

$$\bar{n}_A = \left[yT_L^o + \frac{(v' - v'')(N + E^o)}{(V^o + v')} \right] / T_L^o \quad (2.68)$$

ve $N \gg E^o$ ve $V^o \gg v'$ olması durumunda da,

$$\bar{n}_A = \left[yT_L^o + \frac{(v' - v'')N}{V^o} \right] / T_L^o \quad (2.68a)$$

bağıntısı elde edilir. \bar{n}_A değerleri (2.68) veya (2.68a) bağıntılarından kolaylıkla hesaplanır.

2) Diğer bir güçlük (2.61) denkleminden ligand-proton kararlılık sabitlerinin hesaplanması ortaya çıkar. Bu sabitlerden j değerini elde edebilmek için en az j tane birbirinden farklı \bar{n}_A değeri bilinmelidir (1). Bunların bilinmesi her durumda karşılık olan $[H]$ değerlerinin bilinmesini gerektirir. Sulu çözeltilerde, pH-metre $p[H]$ değeri bilinen tampon çözeltiler kullanılarak ayarlandığından,

$$-\log [H] = p[H] = B \quad (2.69)$$

dir. Burada $B = \text{pH}$ - metrede okunan değerdir. VAN UITERT ve HAAS daha genel bir bağıntı vermişlerdir (50).

$$-\log (H) = B + \log (f) + \log U_H^o \quad (2.70)$$

Burada $f =$ hidrojen iyonunun aynı sıcaklık ve iyonik kuvvetteki çözücü karışımındaki aktiflik katsayıısı ve $U_H^o =$ sıfır iyonik kuvvet için düzeltmedir. Bu bağıntı su ve su-dioksan karışımı için eşit oranda geçerlidir; saf etanol için de kullanılabilir (51). Su için $U_H^o = 1$ ve birim aktiflik katsayıısında ($H = 1$) antilog B dir. Genel durumda $1/\text{antilog } B = [H] f U_H^o$ değerleri (2.61) deki daha güç belirlenebilen $[H]$ değerleri yerine konulursa proton ligand kararlılık sabitlerinin değerleri $P_{K_j}^H$ ile gösterilen **pratik sabitlere** dönüşür. Pratik sabitler stokiyometrik sabitlerle,

$$C_K H_j = f U_H^o P_{K_j^H} \quad (2.71a)$$

$$C_\beta H_j = \left(f U_H^o \right)^j P_{K_j^H} \quad (2.71b)$$

bağıntılarıyla ilişkilidir. $\log f U_H^o$ değeri bilinen hidrojen iyonu konsantrasyonlarındaki çözeltiler kullanılarak $p[H]$ ının B'ye karşı değişim doğrusundan grafiksel olarak bulunur ve pratik sabitlerinin stokiyometrik sabitlere dönüştürülmesinde kullanılır.

Mineral asit, ligand ve metal iyonu karışımının titrasyonunu gösteren 3 eğrisi üzerindeki herhangi bir nokta için

$$[H]''' = E''' + y T''''_L + [OH]''' - Na''' - \bar{n}'''_A T''''_L - \bar{n}'''_A n''' T''''_M \quad (2.72)$$

yazılabilir. pH- metrede okunan değer B ve bu çözeltinin iyonik kuvveti (2.66) dekinin aynı ise 2 eğrisi üzerindeki aynı B ordinatına sahip bir nokta için $[H]'' = [H]'''$, $[OH]'' = [OH]'''$ ve $\bar{n}''_A = \bar{n}'''_A$ olur. Böylece,

$$\bar{n} = (E'' - E''') + (T''''_L - T''''_L) (y - \bar{n}_A) - (Na'' - Na''') / \bar{n}'''_A T''''_M \quad (2.73)$$

olur. Başlangıç hacimleri V^o , asit konsantrasyonları E^o , her iki çözeltideki ligand konsantrasyonu birbirine eşit olup T^o_L ise ve Na'' ve Na''' noktalarına ulaşmak için konsantrasyonu N olan alkaliden v'' ve v''' hacimlerinde katılmışsa,

$$\bar{n}''' = (v''' - v'') N + E^o + T^o_L (y - \bar{n}_A) / (V^o + v'') / \bar{n}'''_A T_M \quad (2.74)$$

elde edilir. $N \gg E^o$ ve $V^o \gg v''$ olması durumunda (2.74) bağıntısı aşağıdaki biçimini alır.

$$\bar{n}''' = (v''' - v'') N / V^o \bar{n}'''_A T_M \quad (2.74a)$$

(2.68) - (2.74) veya (2.68a) - (2.74a) denklemleri kullanılarak yapılan hesaplamalarda önemseneyecek oranda büyük bir fark yoktur. \bar{n}_A değerleri

herbir pH-metre okuması B yardımıyla (2.68) denkleminden bulunabilir ve \bar{n} değerleri de karşılık olan hidrojen iyonu aktivitesi veya konsantrasyonu kesin olarak bilinmeksizin pH metre-okumalarından doğrudan hesaplanabilir (2.63) denkleminden pL nin hesaplanması $[H]$ nin bilinmesini gerektirir fakat basit bir dönüşümle,

$$pL = \log \left[\sum_{j=0}^{J} \frac{C_{\beta_j^H}}{(fU_H^o)^j} ([H] fU_H^o)^j / (T_L - \bar{n} T_M) \right] \quad (2.75)$$

$$= \log \left[\sum_{j=0}^{J} P_{\beta_j^H} (1/\text{antilog } B)^j / (T_L - \bar{n} T_M) \right] \quad (2.63a)$$

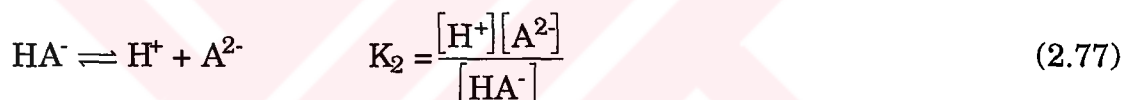
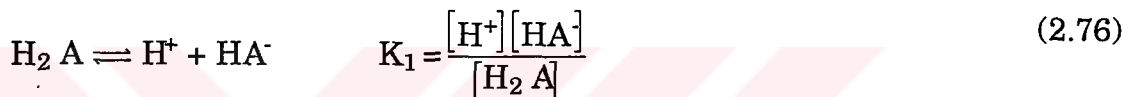
elde edilir. Böylece (2.63) denklemi aynı olarak kalmakla birlikte (i) $[H]$ yerine 1/antilog B değerleri geçmiş (ii) pratik toplam kararlılık sabitleri $P_{\beta_j^H}$ (daha önce ligand-proton kompleksleri için elde edilmiş) stokiyometrik $C_{\beta_j^H}$ sabitleri yerine kullanılmıştır.

\bar{n} ve bunlara karşılık olan pL değerleri elde edildikten sonra metal-ligand sistemi için oluşum eğrisi çizilip C_{K_n} değerleri çeşitli yöntemlerle hesaplanabilir.

2.5. ORTAMDAKİ TÜRLERİN KONSANTRASYONLARININ pH İLE DEĞİŞİMİ (52)

Pek çok durumda $[H^+]$ veya ana türün konsantrasyonunun hesaplanması tam gerçeği yansıtmayabilir. Bir asit-baz indikatörünün iki biçiminin bağıl konsantrasyonlarının bulunması, bir tamponun iyonik kuvvetinin değişimi veya kompleks oluşturan bir reaktifin çözeltideki çeşitli türlerinin bulunması gibi durumlarda, ortamdağı diğer türlerin bağıl konsantrasyonlarının hesaplanması gerekebilir.

Bir diprotik asit durumunda çözeltideki dengeler;



dir. Ortamda bulunan türler H_2A , HA^- , A^{2-} ve bunların mol fraksiyonları α_0 , α_1 , α_2 olsun. Asidin toplam konsantrasyonu

$$C_T = [H_2A] + [HA^-] + [A^{2-}] \quad (2.78)$$

dur. $[HA^-]$ ve $[A^{2-}]$ (2.76) ve (2.77) den hesaplanarak (2.78) da yerine konursa,

$$C_T = [H_2A] + \frac{K_1[H_2A]}{[H^+]} + \frac{K_1 K_2[H_2A]}{[H^+]^2} \quad (2.79)$$

olur. Bu durumda $[H_2A]$ nın mol fraksiyonu,

$$\alpha_0 = \frac{[H_2A]}{C_T} = \frac{[H^+]^2}{[H^+]^2 + K_1[H^+] + K_1 K_2} \quad (2.80)$$

$[HA^-]$ nin mol fraksiyonu,

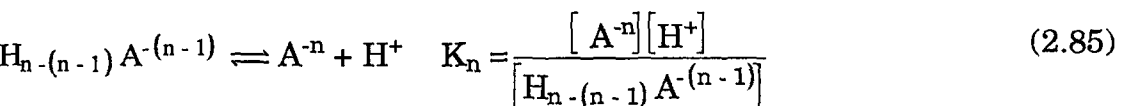
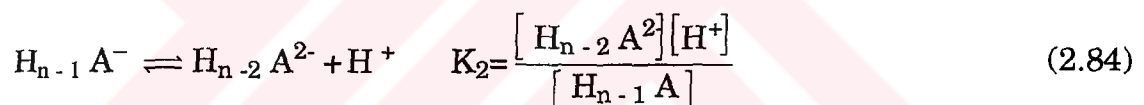
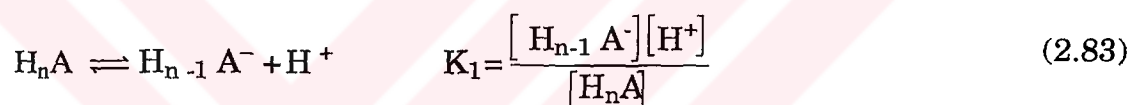
$$\alpha_1 = \frac{[HA^-]}{C_T} = \frac{K_1[H^+]}{[H^+]^2 + K_1[H^+] + K_1 K_2} \quad (2.81)$$

$[A^{2-}]$ nin mol fraksiyonu,

$$\alpha_2 = \frac{[A^{2-}]}{C_T} = \frac{K_1 K_2}{[H^+]^2 + K_1[H^+] + K_1 K_2} \quad (2.82)$$

olur.

Bir poliprotik asit durumunda ise,



dir. $H_n A$ asidinin toplam konsantrasyonu ortamındaki türlerin konsantrasyonları toplamıdır.

$$C_T = [H_n A] + [H_{n-1} A^-] + \dots + [HA^{-(n-1)}] + [A^{-n}] \quad (2.86)$$

Herbir türü K_1, K_2, \dots, K_n (2.83, 2.84, 2.85) cinsinden yazarsak (2.80) formülündeki payda,

$$[H^+]^n + K_1[H^+]^{n-1} + K_1 K_2[H^+]^{n-2} + \dots + K_1 K_2 \dots K_n \quad (2.87)$$

biçimini alır.

O halde, $[H_n A]$ nin mol fraksiyonu,

$$\alpha_0 = \frac{[H_n A]}{C_T} = \frac{[H^+]^n}{[H^+]^n + K_1[H^+]^{n-1} + K_1 K_2[H^+]^{n-2} + \dots + K_1 K_2 \dots K_n} \quad (2.88)$$

$[H_{n-1} A^-]$ nin mol fraksiyonu,

$$\alpha_1 = \frac{[H_{n-1} A^-]}{C_T} = \frac{K_1[H^+]^{n-1}}{[H^+]^n + K_1[H^+]^{n-1} + K_1 K_2[H^+]^{n-2} + \dots + K_1 K_2 \dots K_n} \quad (2.89)$$

$[H_{n-2} A^{2-}]$ nin mol fraksiyonu,

$$\alpha_2 = \frac{[H_{n-2} A^{2-}]}{C_T} = \frac{K_1 K_2[H^+]^{n-2}}{[H^+]^n + K_1[H^+]^{n-1} + K_1 K_2[H^+]^{n-2} + \dots + K_1 K_2 \dots K_n} \quad (2.90)$$

ve $[A^{-n}]$ nin mol fraksiyonu

$$\alpha_n = \frac{[A^{-n}]}{C_T} = \frac{K_1 K_2 \dots K_n}{[H^+]^n + K_1[H^+]^{n-1} + K_1 K_2[H^+]^{n-2} + \dots + K_1 K_2 \dots K_n} \quad (2.91)$$

olarak bulunur.

Her bir tür için $\alpha = f(pH)$ grafiği çizilerek, belirli bir pH değerinde türlerin bağıl bolluklarını izlemek mümkün olur.

2.6. KOŞULLU OLUŞUM SABİTLERİ (52)

Bir kompleksleşme reaksiyonunda, çözeltide liganddan farklı olarak, metal iyonu ile kompleks oluşturabilecek bir başka iyonun veya maddenin varlığı durumunda, metal-ligand kompleksinin oluşum sabiti reaksiyon hakkında yeterli fikir vermeyebilir. Ringbom'un işaret ettiği gibi çözeltideki her türün konsantrasyonunun ve bu türlerin reaksiyonun tamamlanmasındaki etkisinin bilinmesi gereklidir.

Böyle bir yan reaksiyonun olduğu durumda hesaplamalar basitçe şu şekilde yapılır.

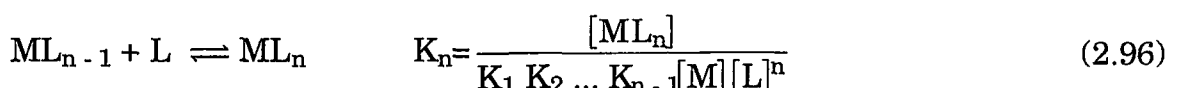
Ligandin metal iyonu ile koordinasyona girmemiş tüm türlerinin toplam konsantrasyonu $[L']$ olsun;

$$[L'] = [H_n L] + [H_{n-1} L^-] + \dots + [HL^{-n+1}] + [L^{-n}] \quad (2.92)$$

Kompleksleşme reaksiyonunun denge sabiti genel olarak;



$$= \frac{[ML_2]}{K_1[M][L]^2} \quad (2.95)$$



veya arabasamak oluşum sabitleri (K_1, K_2, \dots, K_n) yerine,

$$K_1 K_2 \dots K_{n-1} K_n = K \quad (2.97)$$

alınarak,

$$K = \frac{[ML_n]}{[M][L]^n} \quad (2.98)$$

bulunur.

Belirli bir pH değerinde kompleksleşmemiş serbest ligandın konsantrasyonu $[L]$, mol fraksiyonu α_L ile $[L']$ den bulunur.

$$[L] = \alpha_L \cdot [L'] \quad (2.99)$$

Öte yandan ligandla kompleks oluşturanın dışındaki gerek serbest halde, gerekse ortamdaki diğer kompleks yapıcı iyon veya maddelerle (Y) kompleks yapan metal iyonlarının toplam konsantrasyonu $[M']$ olsun;

$$[M'] = [M] + [MY] + [MY_2] + \dots + [MY_n] \quad (2.100)$$

O halde, ligand için $[L']$, metal için $[M']$ belirli koşullardaki gerçek değerleri göstermektedir. Bu durumda oluşum sabit K yerine

$$K' = \frac{[ML_n]}{[M'][L']^n} \quad (2.101)$$

yazılır. Buna **koşullu oluşum sabiti** adı verilir.

Belirli bir pH değerindeki kompleksleşmemiş serbest metal konsantrasyonu, mol fraksiyonu α_M ile $[M']$ den bulunabilirler

$$[M] = \alpha_M \cdot [M'] \quad (2.102)$$

(2.100) bağıntısı aşağıdaki biçimde yazılabilir.

$$[M'] = [M] + K_1[M][Y] + K_1 K_2 [M][Y]^2 + \dots + K_1 K_2 \dots K_n [M][Y]^n \quad (2.103)$$

$$[M'] = [M] \left[1 + K_1[Y] + K_1 K_2 [Y]^2 + \dots + K_1 K_2 \dots K_n [Y]^n \right] \quad (2.104)$$

$$(2.102) \text{ den } \alpha_M = \frac{[M]}{[M']} \quad \text{yazılır.}$$

$[M']$ nün (2.104) daki değeri burada yerine konursa,

$$\alpha_M = \frac{1}{1 + K_1[Y] + K_1 K_2 [Y]^2 + \dots + K_1 K_2 \dots K_n [Y]^n} \quad (2.105)$$

bulunur.

Buna göre koşullu oluşum sabiti K' (2.101) formülünde,

$$K' = \frac{[ML_n]}{\frac{[M]}{\alpha_M} \cdot \frac{[L]^n}{\alpha_L^n}} = \frac{[ML_n]}{[M] \cdot [L]^n} \cdot \alpha_M \cdot \alpha_L^n \quad (2.106)$$

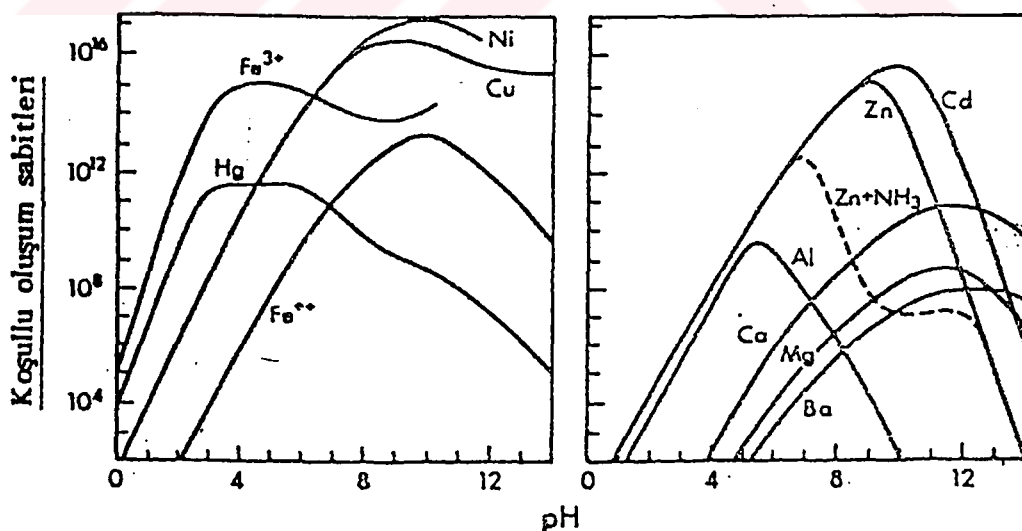
ve (2.100) deki K (2.106) da yerine konursa,

$$K' = K \cdot \alpha_M \cdot \alpha_L^n \quad (2.107)$$

olarak bulunur.

Koşullu oluşum sabitleri, oluşum sabitlerinden daha küçüktür veya belirli bir koşulda maksimum olarak oluşum sabitine eşit olabilir.

Örneğin yardımcı kompleks yapıcı ligandın $[OH^-]$ ve gerçek ligandın EDTA olduğu durumdaki çeşitli metallerin koşullu oluşum sabitlerinin pH la değişimi (Grafik -2.1) de görülmektedir:



Grafik- 2.1. Metal-EDTA Komplekslerinin koşullu oluşum sabitlerinin pH'a göre değişimleri

3. DENEL BÖLÜM

3.1. ÖN İNCELEMELER

3.1.1. Kullanılan Alet ve Maddeler

Analitik saflıkta perklorat asidi "Merck", Sodyum perklorat "Merck"; Metal çözeltisinin hazırlanması için Demir(III) nitrat "Merck" kullanıldı. Standart 0,1 N NaOH çözeltisi "Titrisol Merck Art. 9959" dan hazırlandı. Metal tuzu çözeltileri hazırlandıktan sonra "Titrisol Merck 9992" 0,1 M EDTA çözeltisi ile titre edilerek ayarlandı. Ligand olarak Sülfosalisilik asit ve Etilendiamintetraasetikasit disodyum tuzu "Merck" kullanıldı.

Potansiyometrik titrasyonlar sırasında pH ölçümleri "Metrohm 654" pH-metre ve buna bağlı cam elektrod yardımı ile yapıldı. Büret olarak "Metrohm Multi-Bürette E 485" kullanıldı. Hesaplamalarda "Arc Proturbo 88" tipi bilgisayar kullanıldı.

3.1.2. Metal ve Ligand Çözeltilerinin Hazırlanması

Fe(III) çözeltisi $1 \cdot 10^{-2} M$ olarak hazırlandı ve konsantrasyonu Sülfosalisilik asit indikatörlüğünde 0,1 M EDTA çözeltisi ile titre edilerek belirlendi.

Ligand çözeltilerinden *Sülfosalisilik asit (SSA) $5 \cdot 10^{-3} M$ konsantrasyonunda, **Etilendiamintetraasetikasitdisodyumtuzu (EDTA) ve $1 \cdot 10^{-2} M$ konsantrasyonunda hazırlanarak kullanıldı.

* Sülfosalisilik asit (SSA) olarak,

** Etilendiamintetraasetikasitdisodyumtuzu (EDTA) olarak gösterilecektir.

3.2. PROTONLANMA SABİTLERİNİN TAYİNİ

3.2.1. Potansiyometrik Titrasyonlar

a) Başlangıç konsantrasyonu $5 \cdot 10^{-3} M$ olan SSA çözeltisine farklı konsantrasyonlarda NaClO_4 katılarak farklı iyonik kuvvetlerde çalışıldı. Hazırlanan titrasyon karışımlarının bileşimleri Çizelge (3.1) verilmiştir.

Çizelge – 3.1. : Titrasyon karışımıları

KARIŞIM	1	2	3	4
HClO_4 (0,10 M) mL	5.00	5.00	5.00	5.00
SSA (5×10^{-3} M) mL	20.00	20.00	20.00	20.00
NaClO_4 (1,00 M) mL	0.60	1.25	2.50	5.00
H_2O mL	24.40	23.75	22.50	20.00
TOPLAM HACİM mL	50.00	50.00	50.00	50.00
İYONİK KUVVET	0.022	0.035	0.060	0.110

Farklı iyonik kuvvetlerde hazırlanan HClO_4 , $\text{HClO}_4 + \text{SSA}$ karışım çözeltileri potansiyometrik olarak titre edildi. Çözeltilerin iyonik kuvvetler NaClO_4 katılarak ayarlandı. İyonik kuvvetlerin hesaplanmasıında çözeltide bulunan HClO_4 ile NaClO_4 göz önüne alındı ve öteki bileşenlerden kaynaklanan iyonik kuvvet ihmal edildi.

Potansiyometrik titrasyona ilişkin değerler (Çizelge – 3.2) (Çizelge – 3.3), (Çizelge – 3.4), (Çizelge – 3.5) de verilmiştir ve bu değerlere ilişkin eğriler (Grafik – 3.1), (Grafik – 3.2), (Grafik – 3.3), (Grafik – 3.4) de verilmiştir.

Çizelge – 3.2 : SSA ve HClO_4 'ün potansiyometrik titrasyon değerleri ($I = 0,022$)

(0,6 mL 1M NaClO_4)

0,10 M NaOH mL	pH		0,10 M NaOH mL	pH	
	SSA	HClO_4		SSA	HClO_4
0.0	2.12	2.20	4.0	2.53	2.90
0.2	2.13	2.20	4.2	2.60	3.00
0.4	2.14	2.21	4.4	2.60	3.10
0.6	2.20	2.23	4.6	2.65	3.33
0.8	2.20	2.25	4.8	2.70	3.80
1.0	2.20	2.30	5.0	2.74	9.33
1.2	2.20	2.30	5.2	2.80	10.40
1.4	2.22	2.31	5.4	2.90	10.70
1.6	2.24	2.34	5.6	2.94	10.80
1.8	2.25	2.40	5.8	3.04	11.00
2.0	2.30	2.40	6.0	3.20	11.10
2.2	2.30	2.42	6.2	3.30	
2.4	2.31	2.50	6.4	3.50	
2.6	2.33	2.50	6.6	3.90	
2.8	2.40	2.52	6.8	9.50	
3.0	2.40	2.55	7.0	10.31	
3.2	2.41	2.60	7.2	10.60	
3.4	2.44	2.65	7.4	10.81	
3.6	2.50	2.72	7.6	11.00	
3.8	2.50	2.80	7.8	11.04	

Çizelge – 3.3 : SSA ve HClO_4 'ün potansiyometrik titrasyon değerleri ($I = 0,035$)

(1,25 mL 1M NaClO_4)

0,10 M NaOH mL	pH		0,10 M NaOH mL	pH	
	SSA	HClO_4		SSA	HClO_4
0.0	2.12	2.20	4.4	2.60	3.23
0.2	2.14	2.20	4.6	2.61	3.54
0.4	2.20	2.21	4.8	2.65	6.00
0.6	2.20	2.23	5.0	2.70	10.20
0.8	2.20	2.30	5.2	2.80	10.60
1.0	2.20	2.30	5.4	2.81	10.80
1.2	2.20	2.30	5.6	2.90	10.90
1.4	2.21	2.32	5.8	3.00	11.04
1.6	2.23	2.34	6.0	3.10	
1.8	2.24	2.40	6.2	3.20	
2.0	2.30	2.40	6.4	3.40	
2.2	2.30	2.43	6.6	3.70	
2.4	2.30	2.50	6.8	4.71	
2.6	2.32	2.50	7.0	9.81	
2.8	2.40	2.54	7.2	10.40	
3.0	2.40	2.60	7.4	10.60	
3.2	2.40	2.64	7.6	10.70	
3.4	2.42	2.70	7.8	10.80	
3.6	2.44	2.80	8.0	10.90	
3.8	2.50	2.83	8.2	11.00	
4.0	2.50	2.93	8.4	11.10	
4.2	2.54	3.10			

Çizelge – 3.4 : SSA ve HClO_4 'ün potansiyometrik titrasyon değerleri ($I = 0,060$)

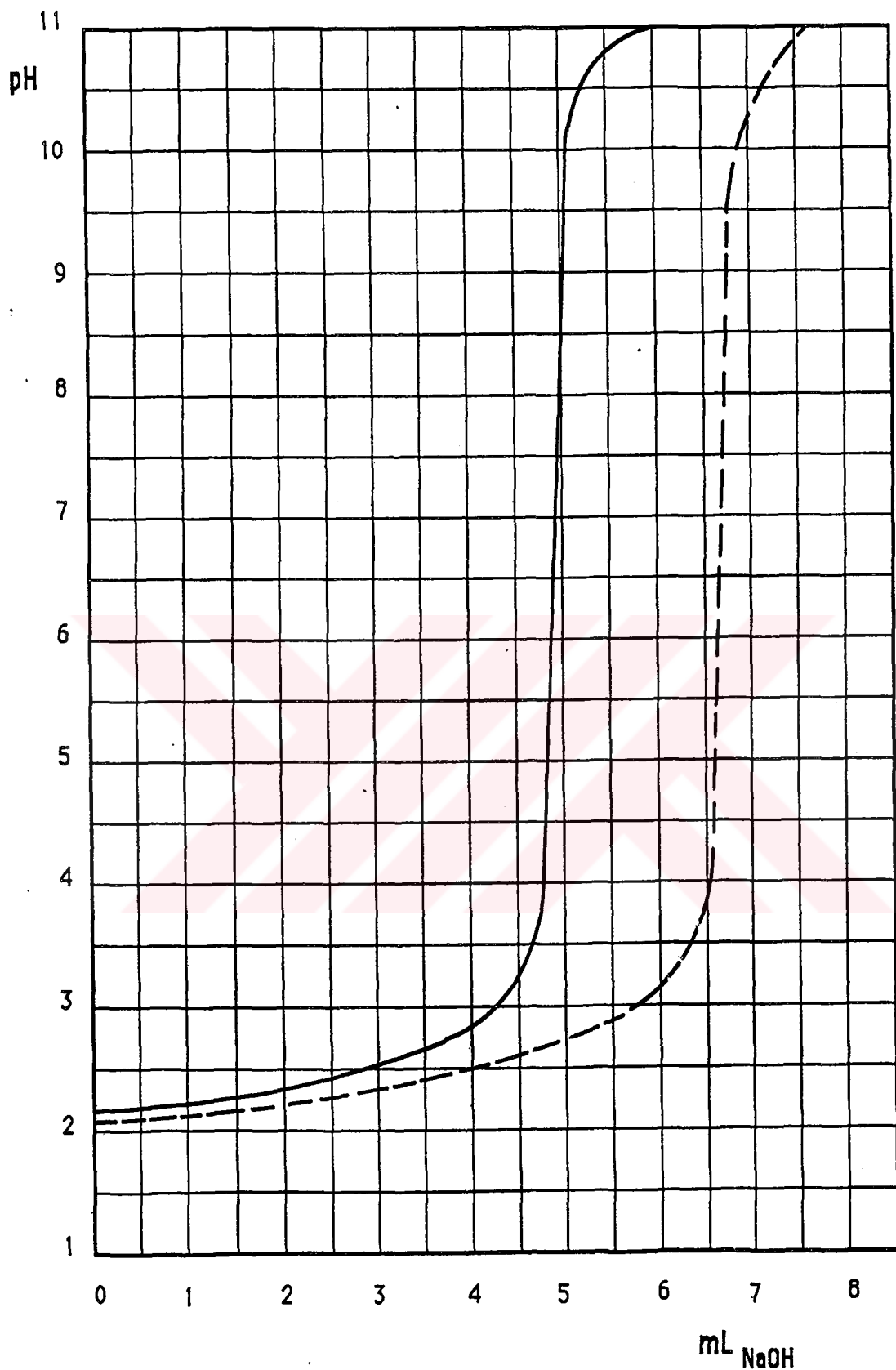
(2,5 mL 1M NaClO_4)

0,10 M NaOH mL	pH		0,10 M NaOH mL	pH	
	SSA	HClO_4		SSA	HClO_4
0.0	2.03	2.05	4.4	2.50	3.02
0.2	2.10	2.10	4.6	2.54	3.23
0.4	2.10	2.10	4.8	2.60	3.74
0.6	2.10	2.10	5.0	2.63	9.40
0.8	2.10	2.12	5.2	2.70	10.30
1.0	2.11	2.14	5.4	2.80	10.60
1.2	2.13	2.20	5.6	2.84	10.70
1.4	2.14	2.20	5.8	2.92	10.90
1.6	2.20	2.20	6.0	3.05	11.00
1.8	2.20	2.23	6.2	3.21	11.04
2.0	2.20	2.30	6.4	3.44	
2.2	2.20	2.30	6.6	4.00	
2.4	2.22	2.33	6.8	9.51	
2.6	2.24	2.40	7.0	10.10	
2.8	2.30	2.40	7.2	10.40	
3.0	2.30	2.44	7.4	10.60	
3.2	2.31	2.50	7.6	10.70	
3.4	2.33	2.54	7.8	10.80	
3.6	2.40	2.60	8.0	10.90	
3.8	2.40	2.70	8.2	11.00	
4.0	2.42	2.80			
4.2	2.50	2.90			

Çizelge – 3.5 : SSA ve HClO₄'ün potansiyometrik titrasyon değerleri (I = 0,110)

(5 mL 1M NaClO₄)

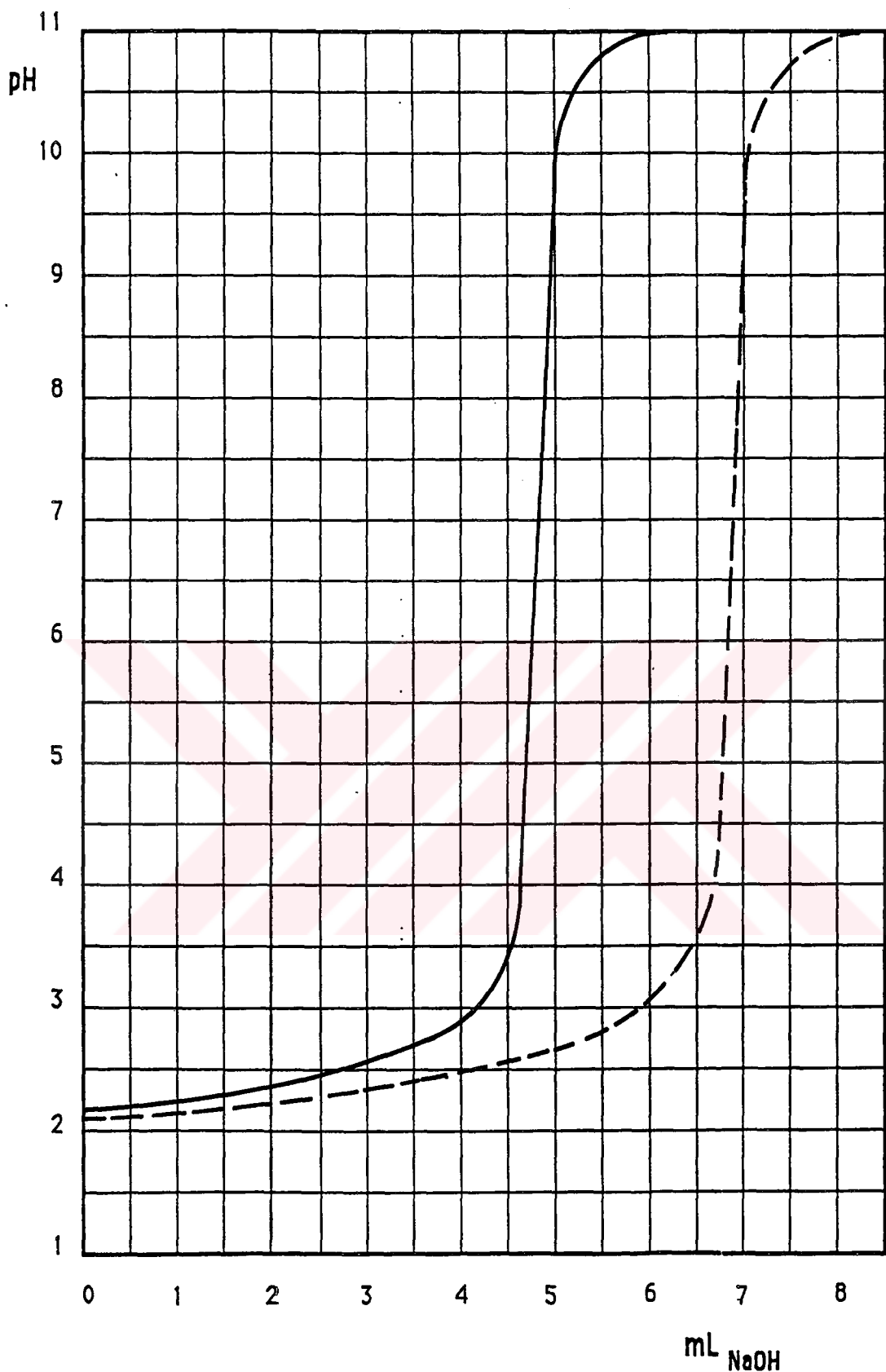
0,10 M NaOH mL	pH		0,10 M NaOH mL	pH	
	SSA	HClO ₄		SSA	HClO ₄
0.0	1.70	1.80	4.2	2.22	2.80
0.2	1.72	1.82	4.4	2.30	3.00
0.4	1.73	1.84	4.6	2.31	3.32
0.6	1.80	1.90	4.8	2.40	6.60
0.8	1.80	1.90	5.0	2.42	10.30
1.0	1.80	1.90	5.2	2.50	10.60
1.2	1.80	1.93	5.4	2.60	10.80
1.4	1.82	2.00	5.6	2.70	11.00
1.6	1.84	2.00	5.8	2.74	11.10
1.8	1.90	2.02	6.0	2.90	
2.0	1.90	2.04	6.2	3.10	
2.2	1.91	2.10	6.4	3.31	
2.4	1.93	2.12	6.6	3.91	
2.6	2.00	2.20	6.8	10.10	
2.8	2.00	2.20	7.0	10.50	
3.0	2.02	2.30	7.2	10.80	
3.2	2.04	2.31	7.4	10.90	
3.4	2.10	2.40	7.6	11.00	
3.6	2.10	2.44	7.8	11.10	
3.8	2.14	2.53			
4.0	2.20	2.63			



Grafik – 3.1 : HClO_4 ve ($\text{Ligand} + \text{HClO}_4$) karışımının potansiyometrik titrasyon eğrileri ($I = 0,022$)

—— HClO_4

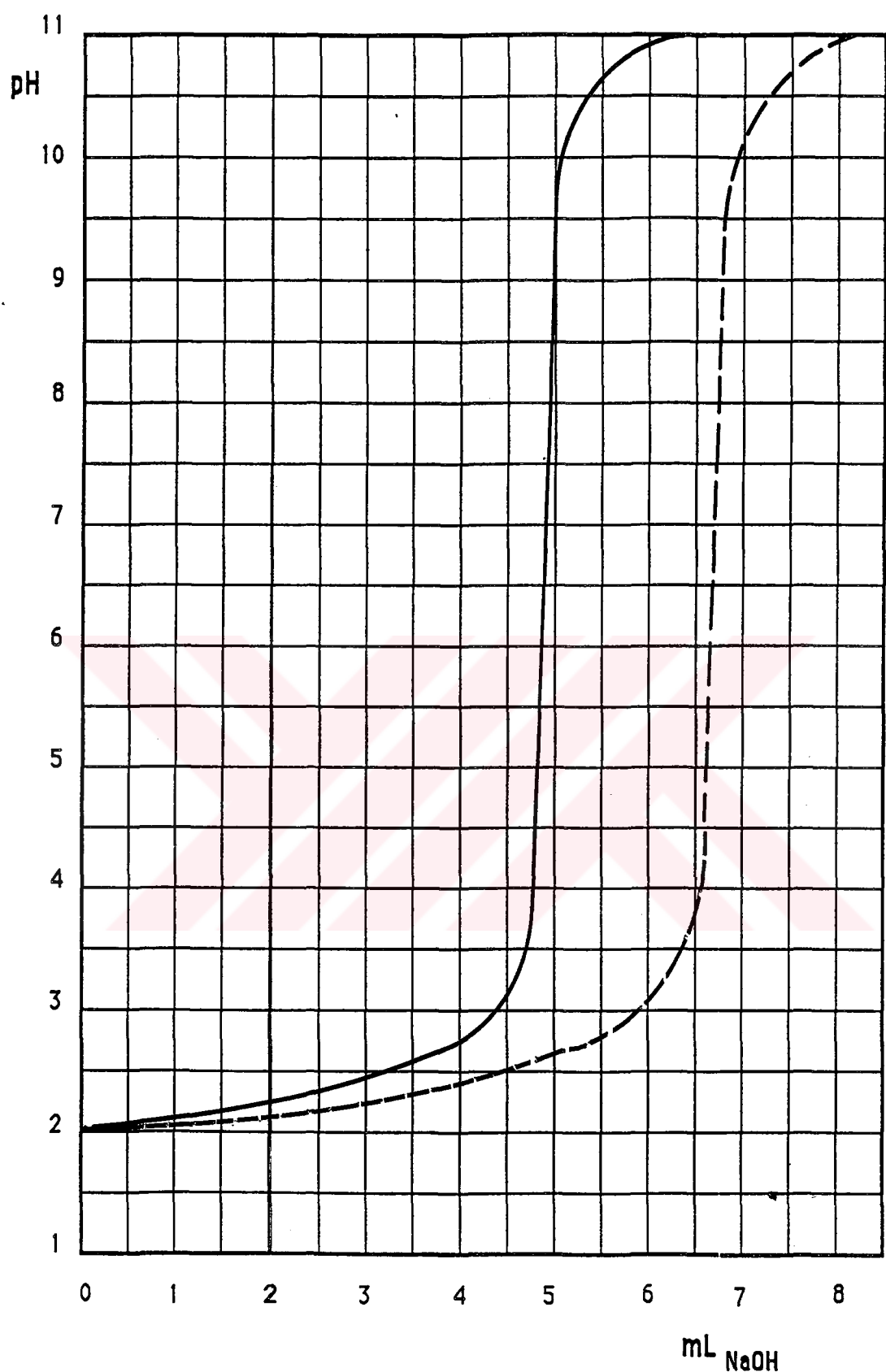
- - - SSA



Grafik – 3.2 : HClO_4 ve (Ligand + HClO_4) karışımının potansiyometrik titrasyon eğrileri ($I = 0,035$)

— HClO_4

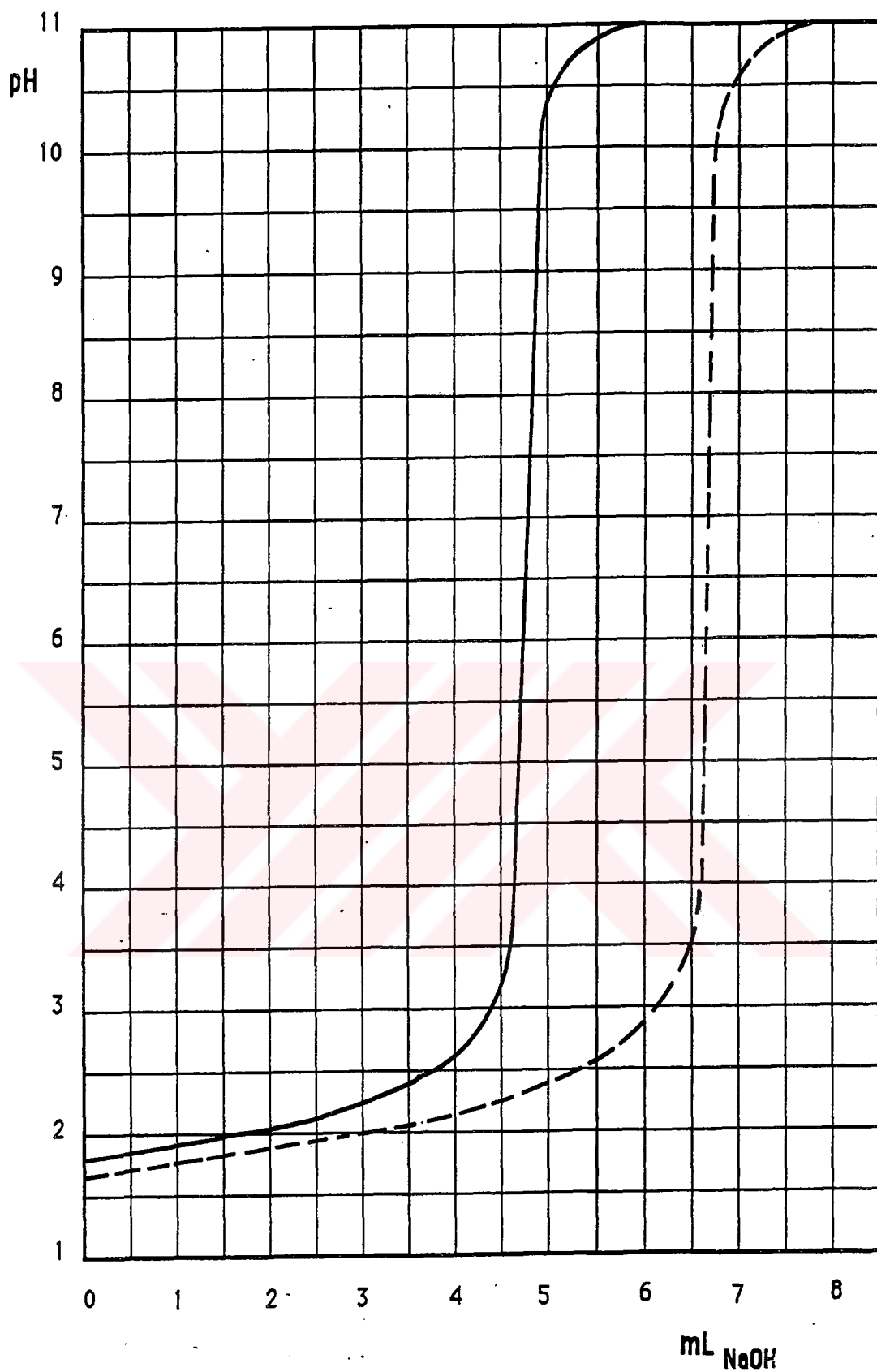
- - - SSA



Grafik – 3.3 : HClO_4 ve (Ligand + HClO_4) karışımının potansiyometrik titrasyon eğrileri ($I = 0,060$)

— HClO_4

- - - SSA



Grafik – 3.4 : HClO_4 ve (Ligand + HClO_4) karışımının potansiyometrik titrasyon eğrileri ($I = 0,110$)

— HClO_4

- - - SSA

b) Ligandın protonlanma sabitlerinin bulunması için IRWING ve ROSSOTTI tarafından verilen yöntem (2.4.3) uyarınca HClO_4 , $\text{HClO}_4 + \text{SSA}$ içeren çözeltilerin titrasyon eğrileri kullanılarak SSA çeşitli iyonik kuvvetlerdeki protonlanma sabitleri hesaplandı. Hesaplama için,

$$\bar{n}_A = y + \frac{(V_1 - V_2)(N + E^\circ)}{(V^\circ + V_1) T^\circ L} \quad (3.1)$$

formülü kullanıldı. Burada :

$$V^\circ = \text{Başlangıç hacmi} = 50 \text{ mL}$$

$$N = \text{Bazın normalitesi} = 0,1 N$$

$$T^\circ L = \text{Ligand konsantrasyonu} = 2 \cdot 10^{-3} M$$

$$E^\circ = \text{HClO}_4 \text{ konsantrasyonu} = 0,0096 M$$

$$Y^* = \text{Verilen proton sayısı} = 3 \text{ dür.}$$

(Grafik – 3.1); (Grafik – 3.2) ; (Grafik – 3.3) ; (Grafik – 3.4) ; den okunan V_1 , V_2 hacimleri yardımıyla SSA için çeşitli pH değerlerine karşılık olan \bar{n}_A değerleri hesaplandı. Elde edilen \bar{n}_A değerleri yardımıyla $\bar{n}_A = f(pH)$ grafiği çizildi. Sonuçlar (Çizelge – 3.6) ; (Çizelge – 3.7) ; (Çizelge – 3.8) ; (Çizelge – 3.9) ve (Grafik – 3.5) ; (Grafik – 3.6) ; (Grafik – 3.7) ; (Grafik – 3.8) de verilmiştir.

Bu grafiklerden farklı iyonik kuvvetler için \bar{n}_A nın 1,5 değerine karşılık olan 2. protonlanma sabitleri bulundu. Bulunan değerler (Çizelge – 3.10) ve (Çizelge – 3.11) de gösterilmiştir. Yalnızca \bar{n}_A nın 1,5 literatür değeri ile uyum içinde olduğu görülmüştür. \bar{n}_A nın değerine karşılık olan 2. protonlanma sabitini farklı iyonik kuvvetlerin kareköklerine göre değişimi (Grafik – 3.9)'da verilmiştir. Çalışma koşullarında $\bar{n}_A = 0,5$ değeri okunamadığı için 1. protonlanma sabiti bulunamamış, hesaplamalarda literatür değeri olan $\log K_1 = 11,74$ alınmıştır.

* Y sabiti ligandın yapısında bulunan asidik proton sayısıdır.

$$\bar{n}_L = y + \frac{(V_3 - V_2) [N + E^\circ + T^\circ_L(y - \bar{n}_A)]}{(V^\circ + V_2) \bar{n}_A T^\circ_M} \quad (3.2)$$

formülü kullanıldı. Burada;

V° = Başlangıç hacmi

N = Bazın normalitesi

T°_L = Ligand konsantrasyonu

E° = Asit konsantrasyonu

T°_M = Metal konsantrasyonu

y = Verilen proton sayısı

pL değerlerinin hesaplanması ise;

$$pL = \text{Log} \left(\frac{1 + \beta_1 [H^+] + \beta_2 [H^+]^2 + \beta_3 [H^+]^3}{T^\circ_L - \bar{n} \cdot T^\circ_M} \right) \quad (3.3)$$

formülü kullanıldı. Burada

SSA için :

$$\beta_1 = K_1 = 5,495 \cdot 10^{11}$$

$$\beta_2 = K_1 \cdot K_2 = 3,98 \cdot 10^{14}$$

alındı . Hesaplamlarda kullanılan bilgisayar programı Ek-1 dedir.

Çizelge – 3.6 : SSA'in pH, \bar{n}_A değerleri ($I = 0,022$)

pH	V ₁	V ₂	\bar{n}_A
2.30	1.40	2.40	1.93
2.50	2.60	4.00	1.54
3.00	4.30	5.70	1.60
3.50	4.70	6.40	1.30
4.00	4.80	6.65	1.20
4.50	4.80	6.70	1.10
5.00	4.85	6.70	1.20
5.50	4.85	6.70	1.20
6.00	4.90	6.70	1.20
6.50	4.90	6.70	1.20
7.00	4.95	6.75	1.20

Çizelge – 3.7 : SSA'in pH, \bar{n}_A değerleri ($I = 0,035$)

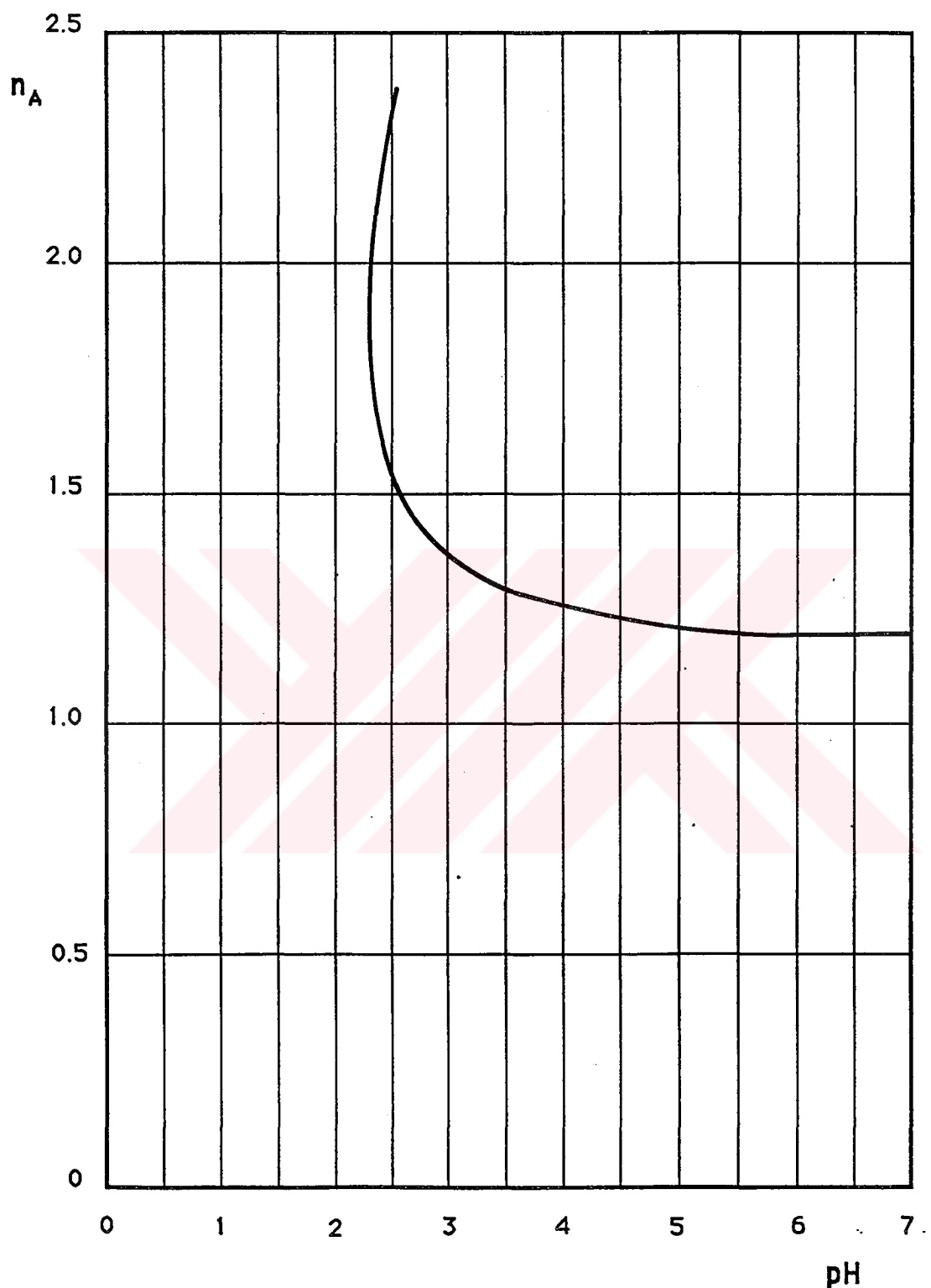
pH	V ₁	V ₂	\bar{n}_A
2.30	1.00	1.80	2.14
2.50	2.60	4.00	1.54
3.00	4.20	5.90	1.30
3.50	4.55	6.50	1.04
4.00	4.60	6.60	1.00
4.50	4.70	6.70	1.00
5.00	4.70	6.70	1.00
5.50	4.75	6.75	1.00
6.00	4.75	6.75	1.00
6.50	4.80	6.80	1.00
7.00	4.85	6.85	1.00

Çizelge – 3.8 : SSA'in pH, \bar{n}_A değerleri ($I = 0,060$)

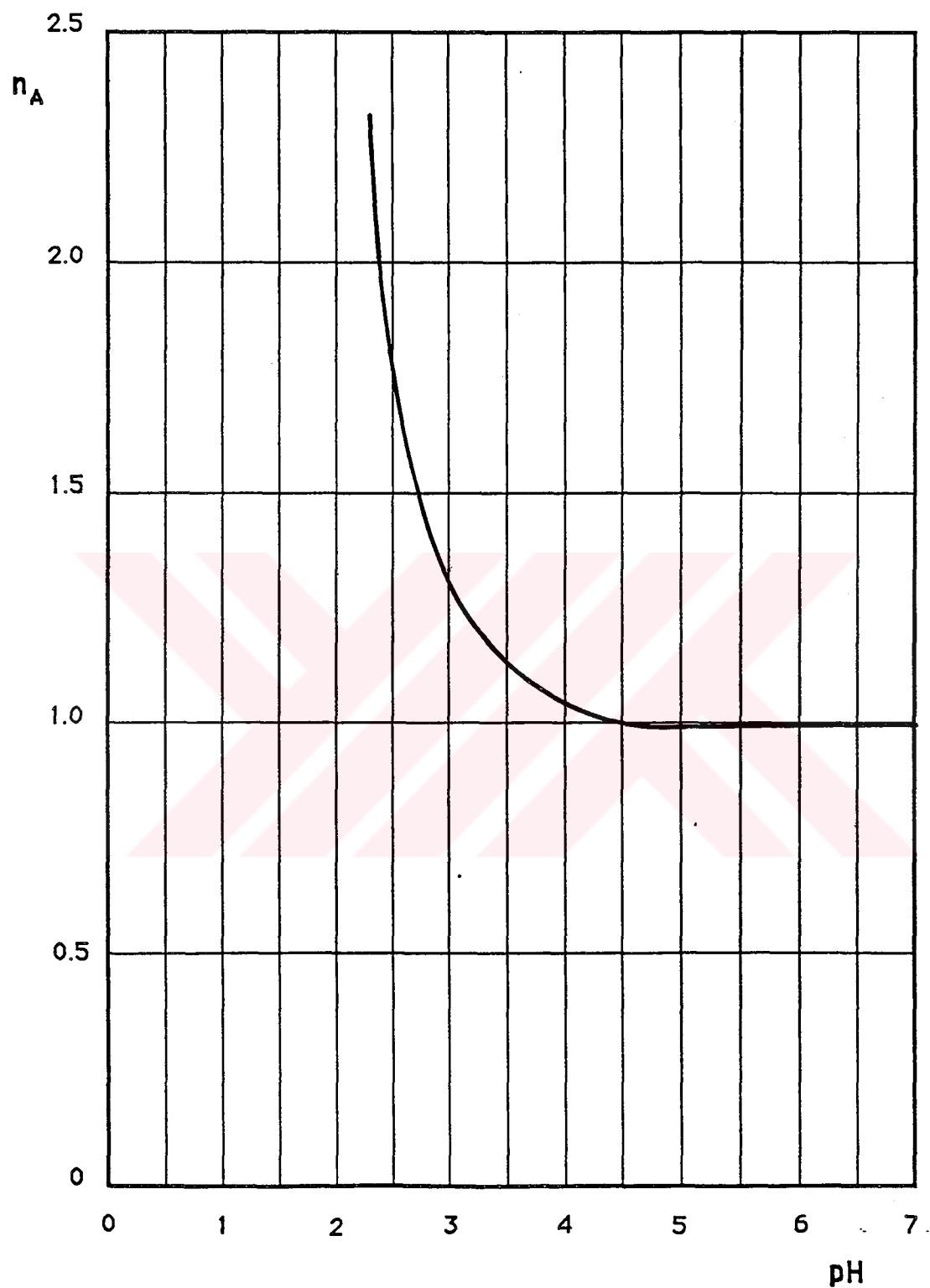
pH	V ₁	V ₂	\bar{n}_A
2.30	2.00	3.00	1.94
2.50	3.10	4.40	1.70
3.00	4.40	6.00	1.40
3.50	4.75	6.45	1.30
4.00	4.80	6.60	1.20
4.50	4.80	6.60	1.20
5.00	4.85	6.65	1.20
5.50	4.85	6.70	1.20
6.00	4.90	6.70	1.20
6.50	4.90	6.70	1.20
7.00	4.90	6.70	1.20

Çizelge – 3.9 : SSA'in pH, \bar{n}_A değerleri ($I = 0,110$)

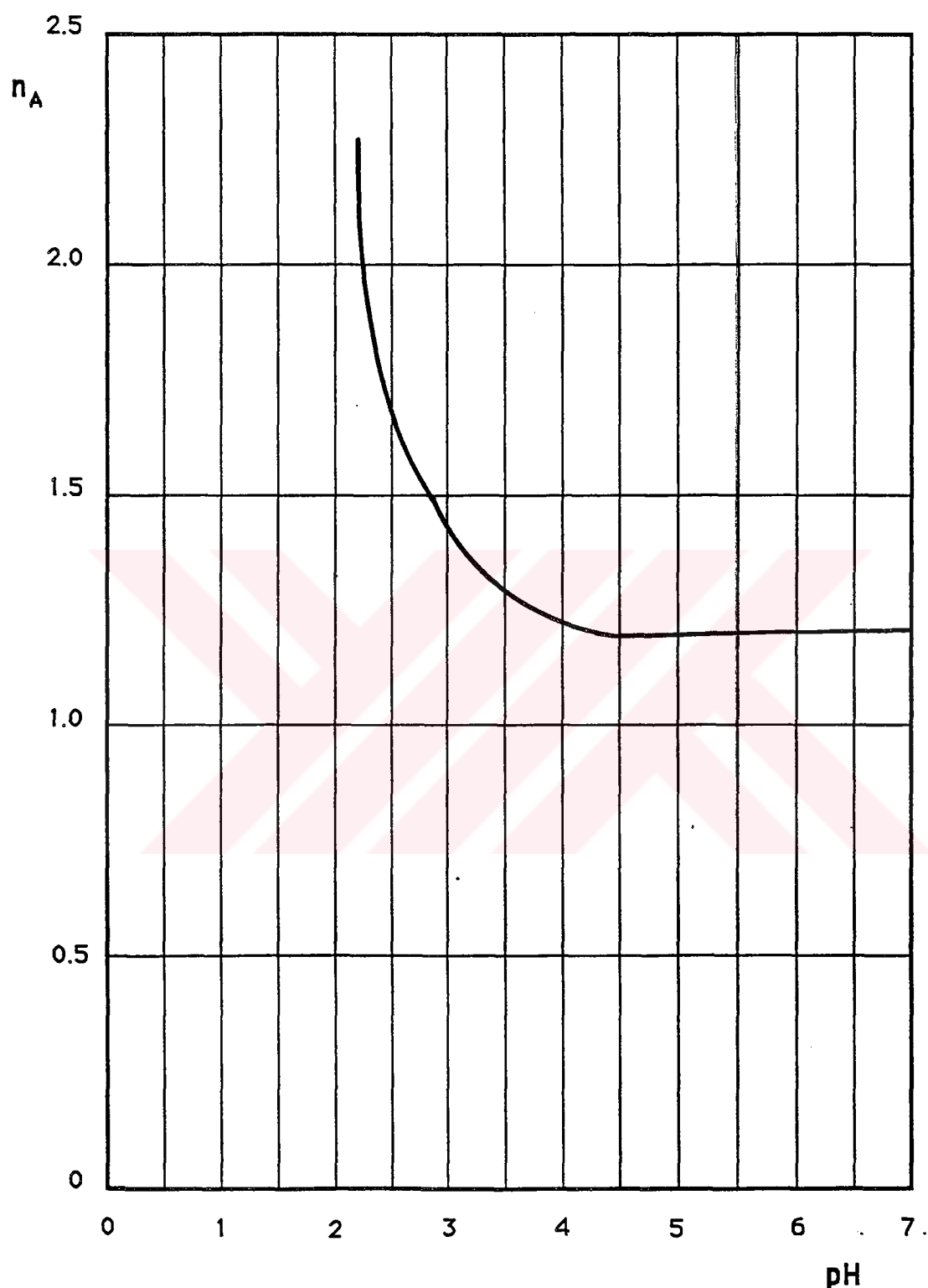
pH	V ₁	V ₂	\bar{n}_A
2.30	3.00	4.50	1.50
2.50	3.60	5.20	1.40
3.00	4.50	6.20	1.30
3.50	4.60	6.50	1.10
4.00	4.70	6.60	1.10
4.50	4.75	6.60	1.20
5.00	4.75	6.65	1.10
5.50	4.80	6.65	1.20
6.00	4.80	6.70	1.10
6.50	4.80	6.70	1.10
7.00	4.80	6.70	1.10



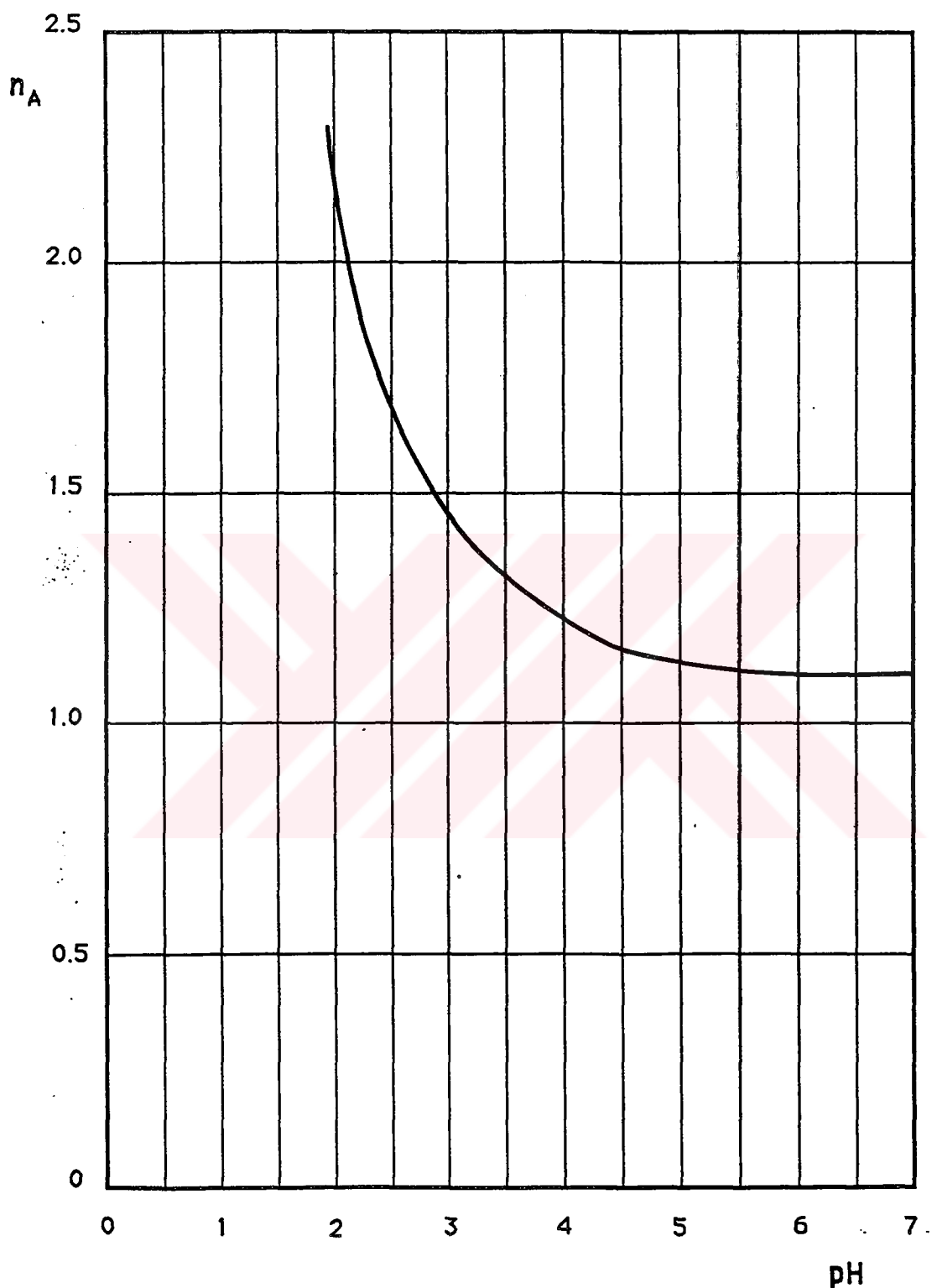
Grafik – 3.5 : Ligandin $\bar{n}_A = f(\text{pH})$ eğrisi ($I = 0,022$)



Grafik – 3.6 : Ligandin $\bar{n}_A = f(\text{pH})$ eğrisi ($I = 0,035$)



Grafik – 3.7 : Ligandin $\bar{n}_A = f(\text{pH})$ eğrisi ($I = 0,060$)



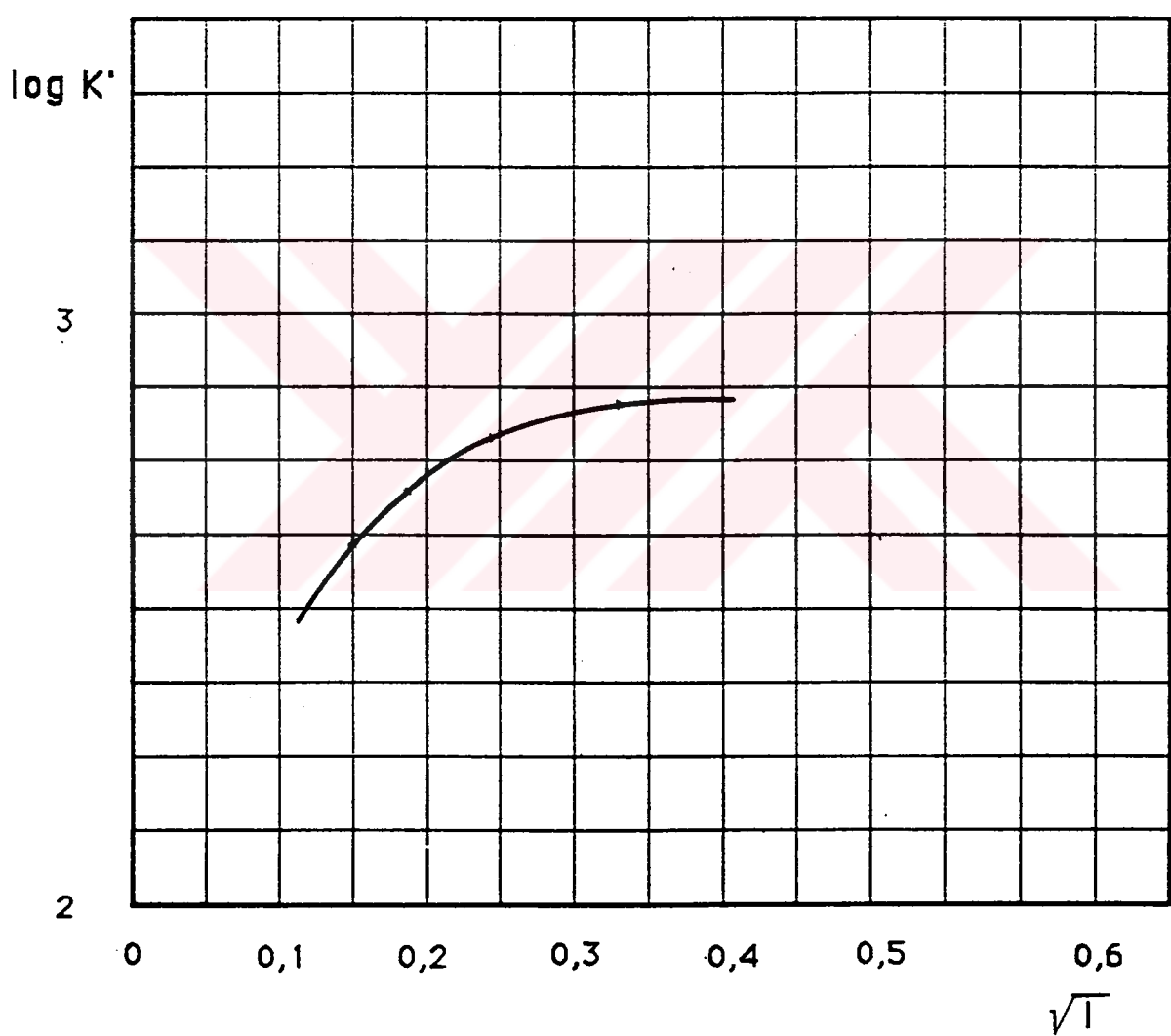
Grafik – 3.8 : Ligandin $\bar{n}_A = f(\text{pH})$ eğrisi ($I = 0,110$)

Çizelge - 3.10 : \bar{n}_A değerleri

pH	\bar{n}_A			
	$I = 0.022$	$I = 0.035$	$I = 0.060$	$I = 0.110$
2.5	1.54	1.54	1.70	1.40
3	1.60	1.30	1.40	1.30
3.5	1.30	1.04	1.30	1.10
4	1.20	.99	1.20	1.10
4.5	1.10	.99	1.20	1.20
5	1.20	.99	1.20	1.10
5.5	1.20	.99	1.20	1.20
6	1.20	.99	1.20	1.10
6.5	1.20	1.00	1.20	1.20
7	1.20	1.00	1.20	1.10

Çizelge - 3.11:

I	0.022	0.035	0.060	0.110
\sqrt{I}	0.148	0.187	0.245	0.331
$\log K_2$	2.60	2.70	2.80	2.86



Grafik – 3.9 : \bar{n}_A 'nın 1,5 değerine karşılık olan 2. protonlanma sabitinin farklı iyonik kuvvetlerin kareköklere göre değişimi.

3.3. ÜÇLU KOMPLEKSLER

a) SSA ve EDTA'nın Fe(III) metaliyle oluşturduğu 1:1:1 bileşimindeki komplekslerin kararlılık sabitlerinin tayini için aşağıdaki çözeltiler hazırlandı.

1.10^{-2} M 50 mL Fe(III) çözeltisi ile 1.10^{-2} M 50 mL EDTA çözeltisi karıştırıldı. Son konsantrasyonu 5.10^{-3} M olan (Fe-EDTA) karışımından 20 mL alındı. Bunun üzerine 0,1 M 5 mL HClO_4 , 1:1:1 bileşimi için 5.10^{-3} M 20 mL SSA ve 1 M 5 mL NaClO_4 çözeltisi katılarak damıtık su ile son hacim 50 mL yapıldı. Hazırlanan bu çözeltiler de standart 0,1 N NaOH ile potansiyometrik olarak titre edildi. Çalışmalar sırasında iyonik kuvvet $I = 0,110$ de sabit tutuldu.

b) Kararlılık sabiti büyük olan Metal-Ligand ikili sisteminin metal iyonu gibi hareket ettiği ve aynı metal ile daha zayıf kompleks yapan Ligandın ikincil ligand olarak bu metal-ligand sistemine bağlılığı düşüncesinden yola çıkararak kararlılık sabitlerinin hesaplanmasıında ikili komplekslerde olduğu gibi \bar{n}_A değerleri yardımı ile \bar{n}_L değerleri ve bulunan \bar{n}_L değerleri yardımı ile de bunlara karşılık gelen pL değerleri hesaplandı. \bar{n}_L ve pL değerlerinin hesaplanmasında (3.2) ve (3.3) formülleri kullanıldı.

Üçlü komplekslerde; (3.2) formülündeki Y ve \bar{n}_A değerleri ikincil liganda ait değerlerdir. (3.3) formülünde kullanılan β 'lar ise yine ikincil liganda ait β değerleridir.

c) Üçlü kompleksler için koşullu oluşum sabitleri pH'a bağlı olarak hesaplandı. Kompleksin toplam kararlılık sabiti;

$$K = \frac{[ML_n]}{[M][L]^n} = K_{ML} \cdot K_{ML_2} \dots K_{ML_n} \quad (3.4)$$

dir. Burada;

$$[L] = \alpha_1 \cdot C_L \quad (3.5)$$

$$[M] = \alpha_m \cdot C_M \quad (3.6)$$

değerleri yerine konursa;

$$K_{\text{kos}} = \frac{[ML_n]}{C_M \cdot C_L^n} = \alpha_L^n \cdot \alpha_M \cdot K_{ML} \cdot K_{ML_n} \quad (3.7)$$

olur. Buradan;

$$\alpha_M = \frac{1}{1 + K_{MY}[Y] + K_{MY} \cdot K_{MY_2}[Y]^2 + \dots + K_{MY} \cdot K_{MY_2} \dots \cdot K_{MY_n}[Y]^n} \quad (3.8)$$

$$[Y] = \alpha_Y \cdot C_Y \quad (3.9)$$

$$\alpha_M = \frac{1}{1 + K_{MY} \alpha_Y C_Y + K_{MY} K_{MY_n} \alpha_Y^n C_Y^n + \dots} \quad (3.10)$$

değeri yerine konursa;

$$K_{\text{kos}} = \frac{K_{ML} \cdot K_{ML_n} \cdot \alpha_L^n}{1 + K_{MY} \alpha_Y C_Y} \quad (3.11)$$

olur. Fe-EDTA-SSA sistemi için $K_{\text{kos}} = \frac{K_{FeEDTA} \cdot \alpha_{EDTA}}{1 + K_{FeSSA} \alpha_{SSA} C_{SSA}}$ dir.

d) Komplekslerin bağıl bolluklarının pH a bağlı olarak değişimleri hesaplandı. Ortamda bulunan türler ;

$$C_T = [MLY] + [ML] \quad (3.12)$$

olarak alındı.

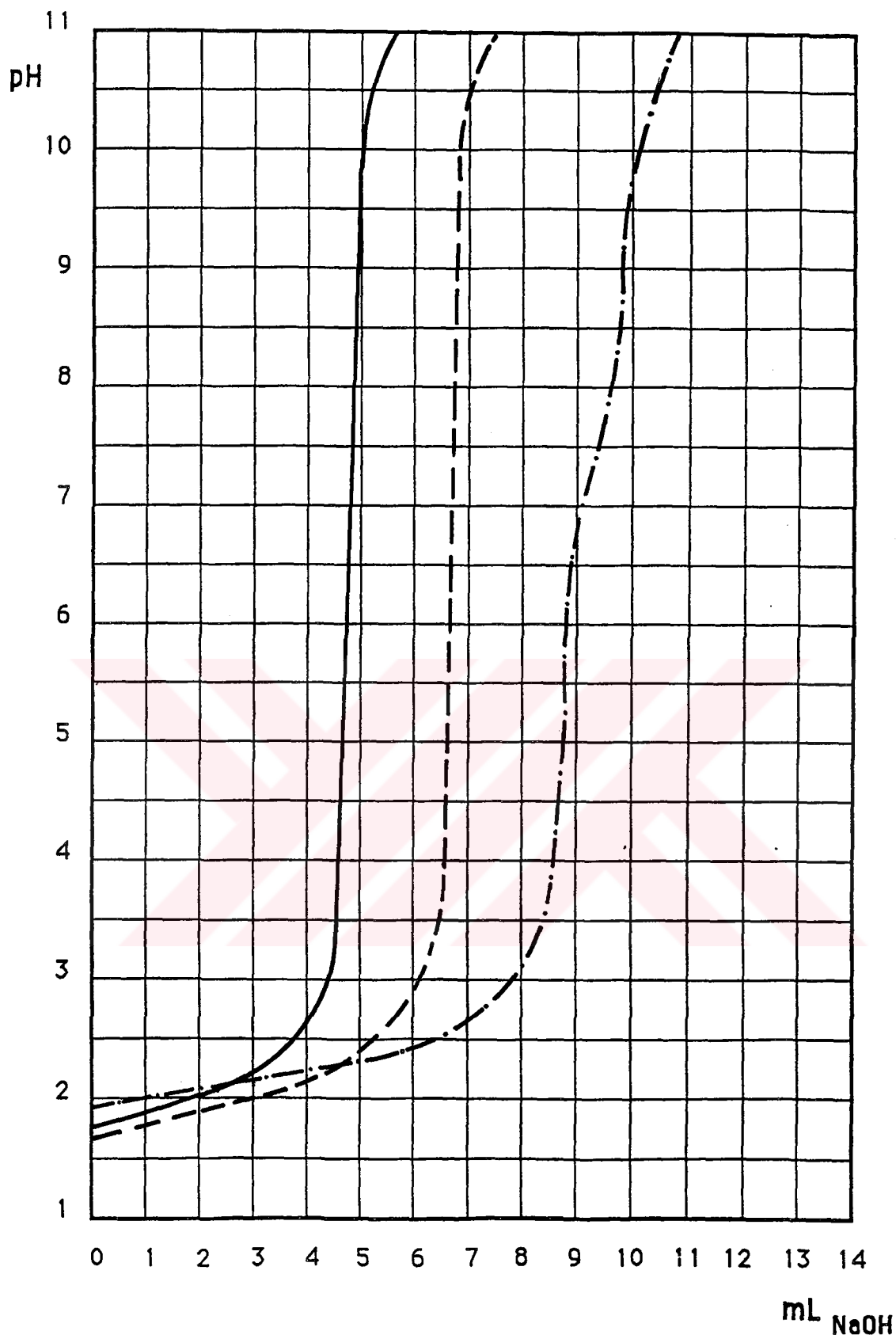
3.3.1. 1:1:1. Bileşiminde, Fe-EDTA-SSA Üçlü Kompleksi

Hazırlanan titrasyon karışımıları (BÖLÜM – 3.3) potansiyometrik olarak titre edildi. Potansiyometrik titrasyon sonuçları (Çizelge – 3.12), potansiyometrik titrasyon eğrileri (Grafik – 3.10) da verilmiştir. (Grafik – 3.10) incelendiğinde Fe-EDTA-SSA eğrisinin SSA eğrisinden ve diğer eğrilerinden belirgin biçimde ayrıldığı yani kompleksleşmenin ortaya çıktığı görülmektedir.

Potansiyometrik titrasyon eğrilerinden elde edilen V_2 , V_3 değerleri ile (3.2) ve (3.3) formülleri kullanılarak hesaplanan \bar{n}_L ve pL değerleri (Çizelge–3.13) de verilmiştir. Bulunan değerler yardımı ile $\bar{n}_L = f(pL)$ grafiği çizilmiş (Grafik – 3.11) incelendiğinde Fe-EDTA-SSA 1:1:1 kompleksinin kararlılık sabiti $n = 0.5$ için $\log K = 12.90$, $K = 1.26 \cdot 10^{13}$ olarak bulunmuştur.

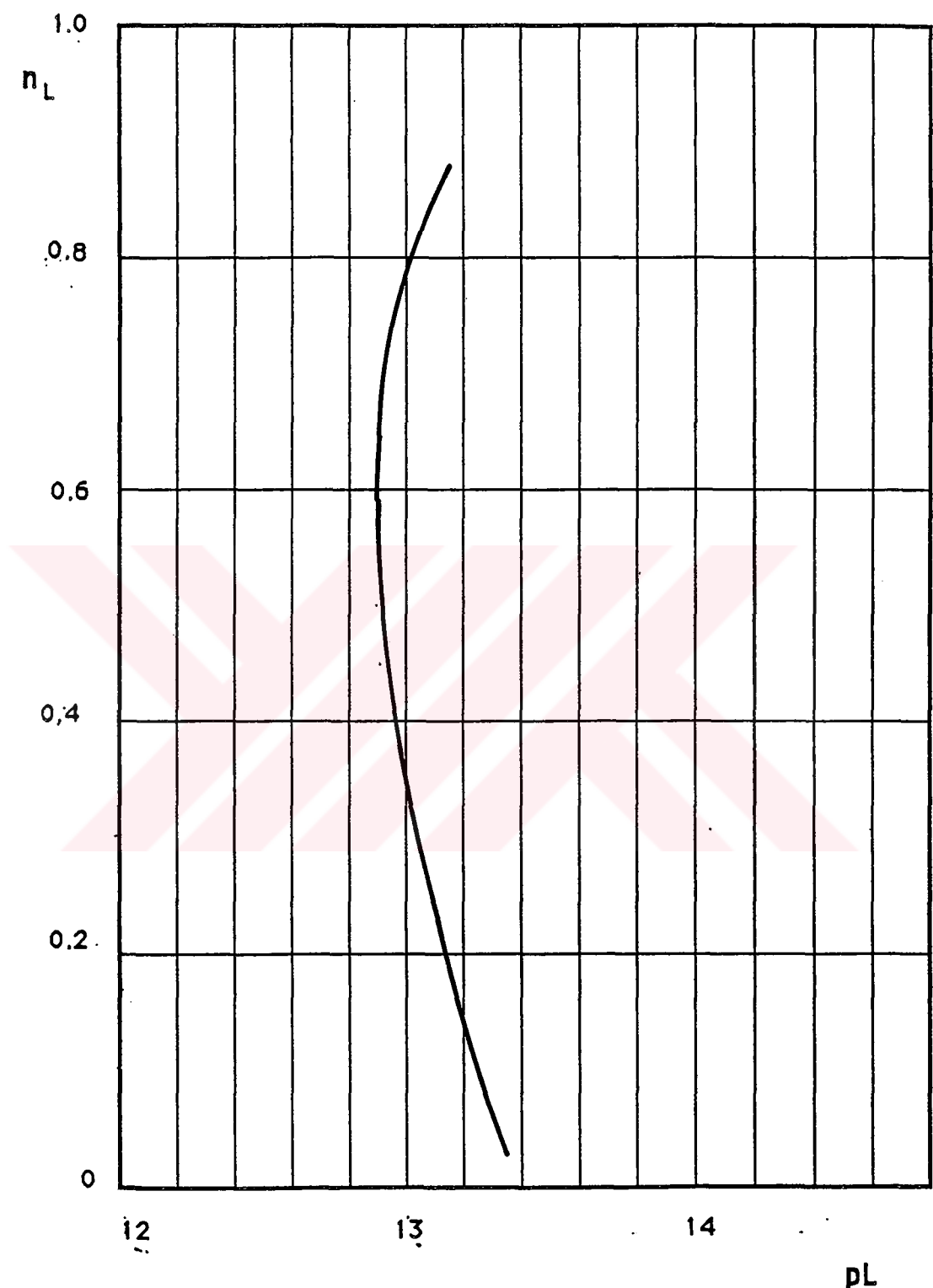
Çizelge - 3.12 : Fe-EDTA, SSA ve HClO₄ ün potansiyometrik titrasyon değerleri (1:1:1) (I = 0.110)

0.10 M NaOH mL	pH			0.10 M NaOH mL	pH		
	Fe-EDTA	SSA	HClO ₄		Fe-EDTA	SSA	HClO ₄
0.0	1.94	1.70	1.80	4.8	2.31	2.40	6.60
0.2	1.95	1.72	1.82	5.0	2.33	2.42	10.30
0.4	2.00	1.73	1.84	5.2	2.40	2.50	10.60
0.6	2.00	1.80	1.90	5.1	2.40	2.60	10.80
0.8	2.00	1.80	1.90	5.6	2.42	2.70	11.00
1.0	2.00	1.80	1.90	5.8	2.44	2.74	11.10
1.2	2.01	1.80	1.93	6.0	2.50	2.90	
1.4	2.03	1.82	2.00	6.2	2.50	3.10	
1.6	2.04	1.84	2.00	6.4	2.55	3.31	
1.8	2.10	1.90	2.02	6.6	2.60	3.91	
2.0	2.10	2.90	2.04	6.8	2.63	10.10	
2.2	2.10	1.91	2.10	7.0	2.70	10.50	
2.4	2.10	1.93	2.12	7.2	2.72	10.80	
2.6	2.10	2.00	2.20	7.4	3.00	10.90	
2.8	2.10	2.00	2.20	7.6	3.00	11.00	
3.0	2.20	2.02	2.30	7.8	3.00	11.10	
3.2	2.20	2.04	2.31	8.0	3.10		
3.4	2.20	2.10	2.40	8.2	3.30		
3.6	2.20	2.10	2.44	8.4	3.50		
3.8	2.23	2.14	2.53	8.6	3.90		
4.0	2.30	2.20	2.63	8.8	5.94		
4.2	2.30	2.22	2.80	9.0	6.90		
4.4	2.30	2.30	3.00	9.2	7.30		
4.6	2.30	2.31	3.32	9.4	7.60		
				9.6	8.00		
				9.8	8.95		
				10.0	9.92		
				10.2	10.30		



Grafik – 3.10: HClO_4 , SSA+ HClO_4 ve $\text{Fe} + \text{EDTA} + \text{SSA} + \text{HClO}_4$ (1:1:1) karışımının potansiyometrik titrasyon eğrileri ($I = 0,110$)

- HClO_4
- - - SSA
- · - - $\text{Fe} + \text{EDTA} + \text{SSA} + \text{HClO}_4$



Grafik – 3.11: Fe-EDTA-SSA için $\bar{n}_L = f(pL)$ eğrisi

Çizelge – 3.13 : Fe(III)–EDTA–SSA (1:1:1) kompleksinin \bar{n}_L ve pL değerleri

pH	V_3	\bar{n}_L	pL
2.10	0.40	0.33	13.50
2.20	1.80	0.00	13.20
2.30	2.80	0.24	13.10
2.40	3.50	0.28	12.90
2.50	4.00	0.50	12.90
2.60	4.45	0.63	12.90
2.70	4.95	0.85	13.10

3.3.2. 1:1:1 Üçlü Kompleksinin Koşullu Oluşum Sabiti

Birinci Ligand olarak kullanılan EDTA'ya ait Log K değerleri, ikinci ligand olarak kullanılan SSA ait LogK değerleri ve literatürden alınan (Çizelge –3.14) ve (Çizelge–3.15). Fe–EDTA ve Fe–SSA ikili komplekslerinin kararlılık sabitleri kullanılarak koşullu oluşum sabitinin pH'a bağlı olarak değişimi (3–10 ; 3–11) formülleri kullanılarak hesaplandı ve grafiğe çizildi (Grafik – 3.12).

(Grafik – 3.12) incelendiğinde; koşullu oluşum sabitinin pH = 4-6 aralığında maksimum değere ulaştığı ($\log k = 12.34$) ve kompleksleşmenin pH = 0.5 – 12 aralığında ortaya çıktığı görülmektedir.

3.3.3. 1:1:1 Üçlü Kompleksinin Bağıl Bolluğu

Ligandin protonlanma sabitlerinden bulunan $pK_2 = 2.86$, $pK_3 = 11.74$ değerleri ve kompleksin oluşum sabiti $\log K = 12.9$ değeri kullanılarak pH = 0 – 11 arasında 0.5 birim aralıklarda hesaplama yapıldı (Grafik – 3.13).

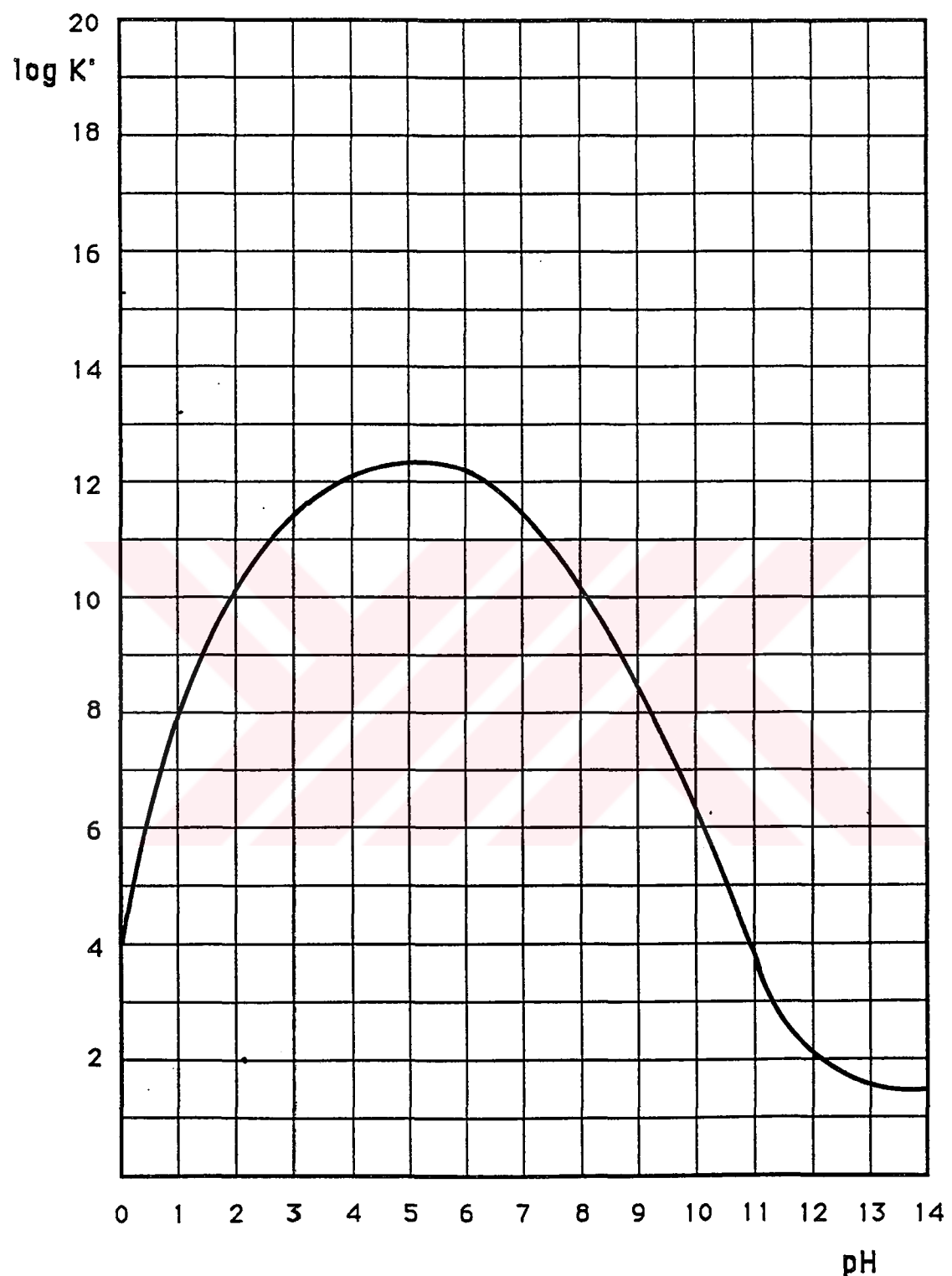
(Grafik – 3.13) incelendiğinde MLY türünün ortaya çıktığı bölgelinin koşullu oluşumun (Grafik – 3.12) maksimum olduğu pH bölgesi ile çakıştığı gözlenmektedir.

Çizelge – 3.14 : Ligandların protonlanma sabitleri

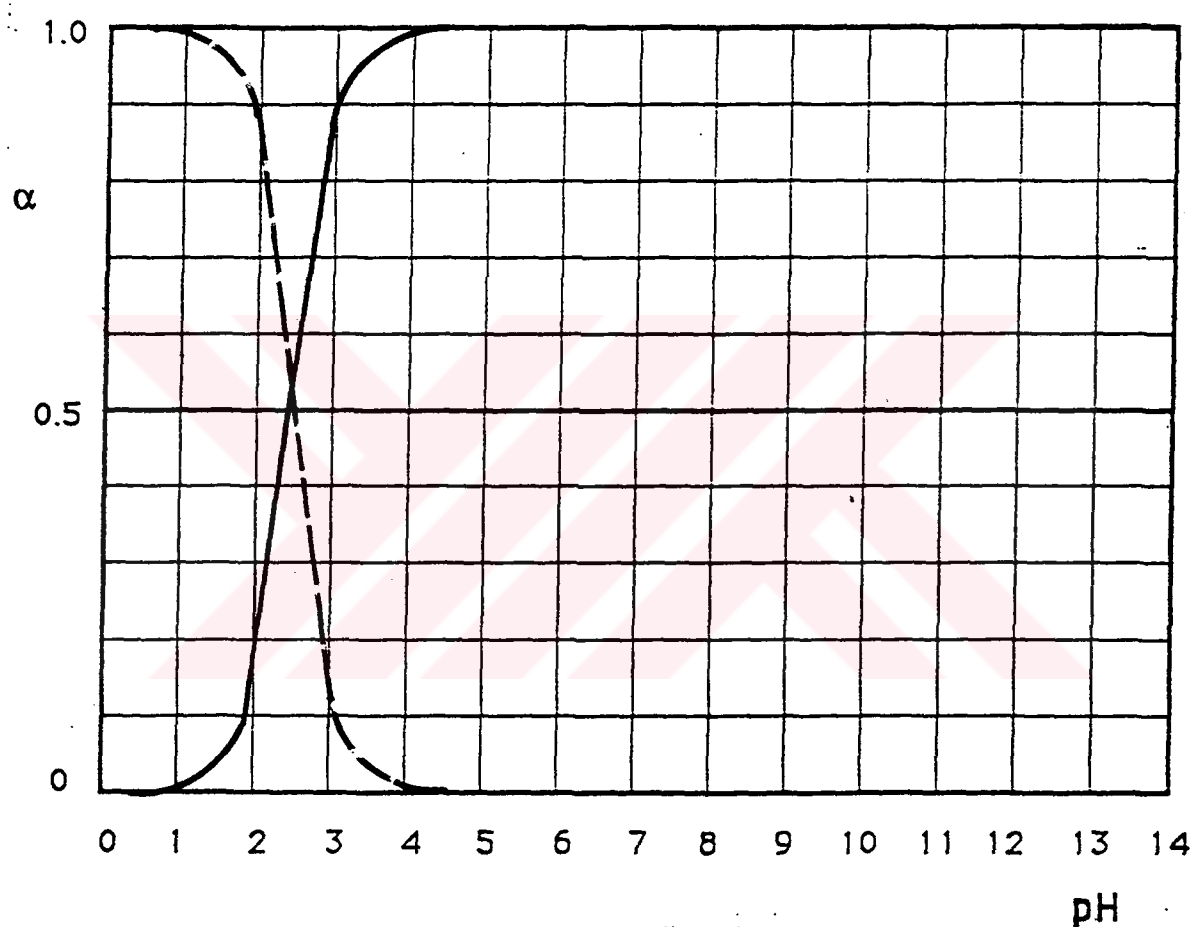
SSA	EDTA
$\log K_1 = 11.74$	$\log K_1 = 10.26$
$\log K_2 = 2.86$	$\log K_2 = 6.16$
	$\log K_3 = 2.67$
	$\log K_4 = 2.00$

Çizelge – 3.15 : İkili komplekslerin kararlılık sabitleri

Fe(III)–SSA	Fe(III)–EDTA
$\log K_1 = 15.02$	$\log K = 25.10$
$\log K_2 = 10.74$	
$\log K_3 = 6.84$	



Grafik – 3.12: Fe-EDTA-SSA kompleksi için koşullu oluşum eğrisi (1:1:1)



Grafik – 3.13: $\text{Fe(III)} - \text{EDTA} - \text{SSA}$ kompleksinin pH'a bağlı bağıl bolluk eğrisi

— — — $\text{Fe} + \text{EDTA}$
 — — — $\text{Fe} + \text{EDTA} + \text{SSA}$

4. SONUÇ ve TARTIŞMA

Bu çalışmada ligand olarak EDTA ve SSA kullanıldı. Çalışmalar sulu çözeltide yapıldı ve ortamın kuvveti 1M NaClO₄ çözeltisi yardımıyla I = 0.110 da sabit tutuldu.

İkili ligand karışımlarının metal iyonları ile oluşturduğu karışık komplekslerin kararlılık sabitlerinin tayini için Calvin-Bjerrum yöntemi kullanıldı ve ona bağlı olarak hesaplamalar Irving-Rossotti yöntemi ile yapıldı. Burada yöntem, üçlü sistemler için düzenlenerek uygulanmıştır (2). İkili sistemdeki metal iyonu yerine üçlü sistemde kuvvetli kompleks alınmıştır. (Metal iyonu + kuvvetli kompleks yapıcı madde). Hazırlanan metal iyonu içeren karışım potansiyometrik olarak titre edildi (Grafik – 3.10). Potansiyometrik titrasyon eğrilerinden yararlanarak hesaplanan \bar{n}_L değerleri ile $\bar{n}_L = f(pL)$ grafikleri çizildi (Grafik – 3.11). Potansiyometrik titrasyon eğrilerinin incelenmesinde, (HClO₄) ; (SSA + HClO₄) ve (SSA + HClO₄ + EDTA + METAL) eğrileri arasındaki ayırmalar karışık kompleksin ortaya çıktığını göstermektedir.

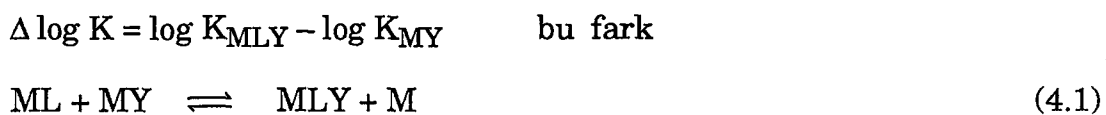


Üçlü kompleksin oluşum sabiti $\bar{n}_L = f(pL)$ grafiğinden $\bar{n} = 0.5$ değerine karşılık gelen Log K = 12.9 olarak okunmaktadır. Üçlü sistemde ortamda bulunan türlerin pH'a karşı bağıl bolluklarının incelenmesinde (Grafik – 3.13), Fe-EDTA kompleksinin pH = 0–2.5 aralığında maksimum olarak var olduğu, Fe-EDTA-SSA üçlü kompleksinin ise pH = 5–6 arasında maksimuma ulaştığı gözlenmektedir.

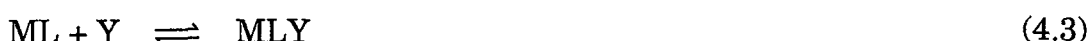
Analitik uygulamalarda, sistemdeki farklı ligandların, komplekslerin oluşumunda etkili olduğu bilinmektedir. Bunun için koşullu oluşum sabitleri tanımlanması yapılmıştır. Koşullu oluşum sabitleri ligand ve metal iyonlarının mol fraksiyonlarından (α) hesaplanmaktadır. Bu çalışmada sistemde bulunan ligandlar ve metal iyonları göz önüne alınarak koşullu oluşum sabitleri hesaplanmış ve koşullu oluşum sabitlerinin karışık kompleksin oluşum sabitleri ile uyum içinde olduğu gözlenmiştir. Bu sonuç hesaplama yolu ile karışık komplekslerin kararlılık sabitlerinin bulunmasını sağlamaktadır. Burada ligandların pK_a değerleri, metal iyonları ile oluşturduğu komplekslerin oluşum sabitleri veri olarak kullanılmakta ve koşullu oluşum sabiti yani üçlü kompleksin kararlılık sabitleri hesaplanabilmektedir. Koşullu oluşum sabiti karışık kompleksin β 'sına karşılık gelmektedir ($\beta_n = K_1 K_2 \dots K_n$).

Burada SSA, EDTA'nın pK_a değerleri ve Fe-EDTA, Fe-SSA komplekslerinin oluşum sabitlerinden yararlanılarak hesaplanan ve pH'a karşı değişimi çizilen koşullu oluşum sabitinin pH = 5-6 aralığında maksimum olduğu ve $\log K_{\text{koş}} = 12.34$ değerine ulaştığı görülmektedir (Grafik – 3.12). Bu değer Fe-EDTA-SSA üçlü kompleksinin $\bar{n}_L = f(pL)$ grafiğinden (Grafik – 3.11) deneysel olarak $\bar{n}_L = 0,5$ için bulunan oluşum sabiti ($\log K = 12.9$) ile uyum içindedir. Ayrıca koşullu oluşum sabitinin maksimum olduğu pH aralığı, Fe-EDTA-SSA kompleksinin bağıl bolluğuunun maksimum olduğu pH aralığı ile çakışmaktadır (Grafik – 3.13).

Karışık Ligand komplekslerinin oluşum eğilimlerini karakterize eden bir parametre de üçlü ve ikili sistemlerin oluşum sabitlerinin arasındaki farktır.



denkleminin denge sabitidir. $\Delta \log K$ 'nın işaretine göre dengenin sağ yada sol yan lehine olduğu belirlenir.



M = Fe(III)

L = Birinci Ligand (EDTA)

Y = İkinci Ligand (SSA)

(4.1) denklemi, (4.3) ve (4.4) denklemlerinin farkından bulunur. Burada üçlü kompleksin (Fe-EDTA-SSA) oluşum sabiti, ikili komplekslerin (Fe-EDTA, Fe-SSA) oluşum sabitlerinden küçük olduğu için $\Delta \log K$ ının işaretti negatif olmakta ve denge (4.1) reaksiyonunun sol taraf lehine olmaktadır. Bu sonuç da (Grafik-3.13)'de görüldüğü gibi düşük pH'larda Fe-EDTA ve Fe-SSA sistemlerinin bulunduğu pH yükseldikçe Fe-EDTA-SSA üçlü sisteminin oluşmaya başladığını ve pH = 5–6 da maksimum bağıl bolluğa ulaştığını göstermektedir.

5. EK – 1 : KULLANILAN BİLGİSAYAR PROGRAMLARI

PROGRAM – 1

```
1 REM BJERRUM VE ROSSOTTİ YÖNTEMİ İLE
2 REM LİGANDİN VE KOMPLEKSİN KARARLILIK
3 REM SABİTLERİNİN HESAPLAMASI PROĞRAMI
4 REM 15. SATIŞ BETALAR HESAPLANINCA DÜZELTİLİR
5 REM SABİT DEĞERLER 10. SATIRDADIR
8 LPRINT "PL", "NL"
10 N=.1 : V = 50 : TLO = .002 : EO = .0096 : Y = 3 : TMO = .002
15 B1 = 5,496x1011 : B2 = 3,98.1014
20 READ PH, V1, V2, V3
25 IF PH = - 999 THEN 80
30 NA = Y + ( (V1 - V2)* (N + EO) ) / ( (VO + V1)* TLO) )
35 NL = (V3 - V2)* (N + EO + TLO* (Y - NA) ) / ( (VO + V2)* NA* TMO)
40 H = 10 ^ ( - PH)
50 PL = (1 / LOG (10))* LOG ( (1 + B1* H + B2* H^2) / (TLO - (NL*TMO)))
65 LPRINT PL, NL
70 GOTO 20
80 END
200 DATA
300 DATA - 999, - 999, - 999, - 999
```

PROGRAM – 2

```
1 REM LİGANDIN TÜREYEN TÜRLERİN BAĞIL BOLLUKLARI  
2 REM HESAPLANMASI  
4 REM 10. SATIR LİGANDIN ASİT SABİTLERİNE GÖRE GİRİLİR  
5 REM İKİNCİ LİGANDIN KONSANTRASYONU  
6 CM = .002  
10 K1 = .0014 : K2 = 1.8E – 12  
12 REM ÜÇLU KOMPLEKSİN DISSOSİYASYON SABİTLERİ  
15 KE1 = 1.26E – 13  
25 LPRINT "PH", "BO", "B1"  
35 FOR PH = 0 TO 14 STEP .5  
40 H = 10 ^ (- PH) : C = H^2 + K1 * H + K1 * K2  
45 AO = H ^ 2 / C : A1 = K1 * H / C : A2 = K1 * K2 / C  
50 L = A2 * CM  
55 x = L + KE1  
57 BO = L / x : B1 = KE1 / x  
70 LPRINT PH, BO, B1  
75 PRINT  
80 NEXT PH  
90 END
```

6. ÖZET

Bu çalışmada kuvvetli bir kompleks olan Fe-EDTA ve 5-Sülfosalisilik asit ile oluşturduğu üçlü kompleksin oluşumu için uygun koşullar incelenmiş ve bu üçlü kompleksin kararlılık sabiti Irving-Rossotti yöntemi ile tayin edilmiştir. Protonlanma ve buna bağlı olarak asit sabiti $I = 0,11$ ve 25°C de $\log K = pK = 12,9$ olarak bulundu. Ayrıca oluşan komplekslerin koşullu oluşum sabitleri pH'a bağlı olarak hesaplanmış, hesaplanan bu koşullu oluşum sabitlerinden yararlanarak karışık kompleksten türeyen çeşitli türlerin bağlı bollukları incelenmiştir.

7. SUMMARY

THE DETERMINATION OF STABILITY CONSTANTS OF MIXED LIGAND COMPLEX OF Fe(III), ETHYLENEDIAMINTETRAACETIC ACID (EDTA) AND 5-SULPHOSALICYLICACID (SSA) BY POTENTIOMETRIC METHOD

In the present study, the stability constants of mixed complexes from Fe (III), EDTA and 5-sulphosalicylic acid were determined using potentiometric method by the Irving-Rossotti procedure. $I = 0,11$ and 25°C $\log K = \text{p}K = 12,9$

In addition the conditional formation constants were calculated depending on pH values and the mole fraction of different species from mixed complex were investigated using the calculated conditional formation constants.

8. KAYNAKLAR

- 1- Irving, H. M., Rossotti, H.S. : *J. Chem. Soc.*, 3397-3405, (1953), 2904 - 2910, (1954).
- 2- Heureaux, G.A.L., Martell, A.E. : *J. Inorg. Nucl. Chem.* **28**, 481 (1966).
- 3- The Merck Index. 11 th edition. Merck and Co. Inc. Rahway. N.J., U.S.A. (1989).
- 4- Lurie, J. : *Handbook of Analytical Chemistry*, Mir Publishers, Moscow, (1975).
- 5- Pusca, V. Cociasu, C., Murgu, N.: *Rev. Chim. (Bucharest)* **13**, C.A., 49-50 (1962).
- 6- Kang, C., Ding, C. : *Guisvanyan Xuebao*, **10** (1), 97-104 (1982); *C.A.*, **97**, 103508d (1982).
- 7- Liu, L., Thao, Z. : *Yankuang Ceshi*, **6** (1), 36-9 (1987); *C.A.*, **108**, 30942z (1988).
- 8- Xiao, M. : *Diandu Yu Huanbao*, **8**(4), 23-5 (1988); *C.A.*, **110**, 165163h (1989).
- 9- Novikov, V.T., Lopatinskii, V.P., Chernova, L.A., Novikova, N.M., Ivasenko, V.L. : *Deposited Doc*, 3970-77 (1977); *C.A.*, **90**, 128328p (1979).
- 10- Novikova, N.M., Kazantseva, I.V., Novikov, V.T. : *Koord. Khim.*, **13** (6), 789-92 (1987); *C.A.*, **107**, 103664b (1987).
- 11- Koch, S., Ackermann, G. : *Z. Chem.*, **29**(4), 150-1 (1989); *C.A.*, **110**, 237756d (1989).

- 12- Krzeszowska, E., Jablonski, Z. : *Pr. Nauk. Politech. Szczecin*, **90**, 57-69 (1978); *C.A.*, **91**, 45155z (1979).
- 13- Koch, S., Ackermann, G. : *Z. Chem.*, **30** (1), 32 (1990); *C.A.*, **113**, 51422y (1990).
- 14- Migal, P.K., Gerbeleu, A.P., Valkanesku, V.I. : *Khim. I. Khim. Tekhnol.*, 17-22 (1980); *C.A.*, **93**, 138681z (1980).
- 15- Logachev, V.L., Serebritskaya, L.F., Dulova, V.I. : *Khim. Zh.*, **51** (7), 771-3 (1985); *C.A.*, **103**, 167083m (1985).
- 16- Ivoilova, L.V., Kravtsov, V.I. : *Leningr. Gos. Univ. Im. Zhdanova, Leningrad*, 212 (1975); *C.A.*, **86**, 23462s (1977).
- 17- Novikov, V.T., Novikova, N.M.; Chernova, L.A.: *Koord. Khim.*, **10** (6), 833-6 (1984), *C.A.*, **101**, 60935x (1984).
- 18- Novikova, N.M., Lopantinskii, V.P., Novikov, V.T. : *Khim. Khim. Tekhnol.*, **28** (1), 114-16 (1985); *C.A.*, **102**, 173335r (1985).
- 19- Edoardo, M., Fernando, S., Marcella, V. : Received January 27 (1981).
- 20- Chattopadhyaya, V.T. : *J. Indian Chem. Soc.*, **59**, 1416–1418 (1982).
- 21- Kravtsov, V.I., Ivoilova, L.V. : *Elektrokhimiya*, **13** (4), 577-81 (1977); *C.A.*, **87**, 45930r (1977).
- 22- Zhao, Z., Wang, Y., Wang, F., He, Y. : *Huaxue Shiji*, **10** (2), 87-90 (1988); *C.A.*, **109**, 141711p (1988).
- 23- Huang, H., Gao, J. : *Bunseki Kagaku*, **38** (8), 361-7 (1989); *C.A.*, **112**, 111014h (1990).
- 24- Kravtsov, V.I., Ivoilova, L.V. : *Elektrokhimiya*, **14** (1), 175 (1978); *C.A.*, **88**, 199918a (1978).
- 25- Leggett, D.J., Chen, N.H., Mahadevappa, D.S. : *Indian J. Chem.*, **20A** (11), 1051-3 (1981); *C.A.*, **96**, 134949g (1982).

- 26- Salvado, V., Ribas, X., Valiente, M.: *Polyhedran*, **9** (22), 2675-9 (1990).
- 27- Ying, W. : *Fenxi Huaxue*, **12** (10), 930-4 (1984); *C.A.*, **102**, 55072e (1985).
- 28- Mc Bryde, W.A.E., Rahr, J.L., Penciner, J.S., Page, J.A. : *Can. J. Chem.*, **48**(16), 2574-86 (1970); *C.A.*, **73**, 92209h, (1970).
- 29- Nikolave, L.A., Kravtsov, V.I.: *Elektrokhimiya*, **29** (6), 693-8 (1993); *C.A.*, **119**, 235090u (1993).
- 30- Dölen, E. : *Volumetrik Yöntemler*, Mar. Üniv. Ecz. Yayınları, 470-474 (1988).
- 31- Shirko, K., Palchevskii, V.V., Yakubov, Kh. M., Zakirov, Z.Z. : *Zh. Khim.*, 76-84 (1974); *C.A.*, **83**, 49054y (1975).
- 32- Glaeser, E., Oertel, K. : *Chem. Tech.*, **27** (9), 545-7 (1975); *C.A.*, **84**, 69007; (1976).
- 33- Lal K. : *Chim. Acta Turc.* **7** (2), 167-71 (1979); *C.A.*, **93**, 55116t (1980).
- 34- Christensen, H. H., Borggaard, O.K. : *Acta Chem. Scand.*, **31A** (9), 793-4 (1977); *C.A.*, **88**, 55602v (1978).
- 35- Popel, A.A., Zakharov, A.V., Salnikov, Yu. I., Kostrova, I.I.: *Khim. Khim. Tekhnol.*, **18** (11), 1700-2 (1975); *C.A.*, **84**, 96196b (1976).
- 36- Monakhov, A.S., Voronov, V.N., Kotenkov, V.N., Maiorov, M.F. : *Zh. Teploenerg.*, (474), 130-6 (1980); *C.A.*, **94**, 110117s (1981).
- 37- Kamekawa, K., Yoshida, H. : *Mizu Shori Gijutsu*, **24** (8), 629-34 (1983); *C.A.*, **99**, 219244k (1983).
- 38- Koch, S., Ackermann, G., Bartusek M. : *Z. Chem.* **23** (6), 231 (1983); *C.A.*, **99**, 129093f (1983).
- 39- Koch, S., Ackermann, G., Bartusek M. : *Z. Chem.* **26** (5), 181-2 (1986); *C.A.*, **105**, 85971b (1986).

- 40- Koch, S., Ackermann, G. : *Z. Chem.* **25** (1), 31-2 (1985); *C.A.*, **102**, 192222t (1985).
- 41- Koch, S., Ackermann, G. : *Z. Chem.* **23** (12), 436-7 (1983); *C.A.*, **100**, 145860y (1984).
- 42- Puttanna, K.: *Indian, J. Agric. Chem.* **20** (2), 125-9, (1987); *C.A.*, **109**, 226123y (1988).
- 43- Galdi, M., Valencia, M.E.: *J. Food Sci.*, **53** (6), 1844-7; *C.A.*, **110**, 93657x (1989).
- 44- Costa, G. and Mestroni, G., Acyl-and Carboxyalkyl-Cobalt(III) Chelates. *Tetrahedron Letters*, 1783-1784 (1967).
- 45- Costa, G., Mestroni, G. and Stefani, L., Organometallic Derivatives of Co(III) Chelates of Bis (Salicylaldehyde) Ethylenediamine *Journal of Organometallic Chemistry*, **7**, 493-501 (1967).
- 46- Costa, G., Mestroni, G., Tauzher, G. and Stefani, L., Organometallic Derivatives of Cobalt Chelates of Bis (acetylacetone) Ethylenediamine. *Journal of Organometallic Chemistry*, **6**, 181-187 (1966).
- 47- Bjerrum, J.: *Metal Ammine Formation in Aqueous Solution*, P. Haase and Son, Copenhagen (1941).
- 48- Calvin, M., Wilson, K.W. : *J. Am. Chem. Soc.*, **67**, 2003-2007, (1945).
- 49- Freiser, H., Charles, R.G., Johnstone, W.D.: *J. Am. Chem. Soc.*, **74**, 1383-1385, (1952).
- 50- Van Uitert, G., Hass, C. : *J. Am. Chem. Soc.*, **75**, 451-455 (1953).
- 51- Van Uitert, G.F., Fernelius, C.: *J. Am. Chem. Soc.*, **75**, 3682-3684, (1953).
- 52- Laitinen, H.A., Harris, W.E.: *Chemical Analysis*. 2nd ed. McGraw-Hill, Tokyo, (1975).